



Contamination of Heavy Metals and Polycyclic Aromatic Hydrocarbons (PAHs) in the Thai/Laos Mekong River

Dr. Apisit Songsasen

Sornnarin Bangkedphol, Arthit Sakultantimetha,
Nitaya Lauhachinda and Helen E. Keenan

Department of Chemistry, Faculty of Science,
Kasetsart University, Bangkok, Thailand



Introduction

PAHs and heavy metals in the atmosphere can be polluted in many kinds of environmental sample such as soil, rain, river etc., which many are known to be carcinogenic agents.

The toxicity of the PAHs and heavy metals in environment depends on the types and quantity of each PAHs and heavy metals.

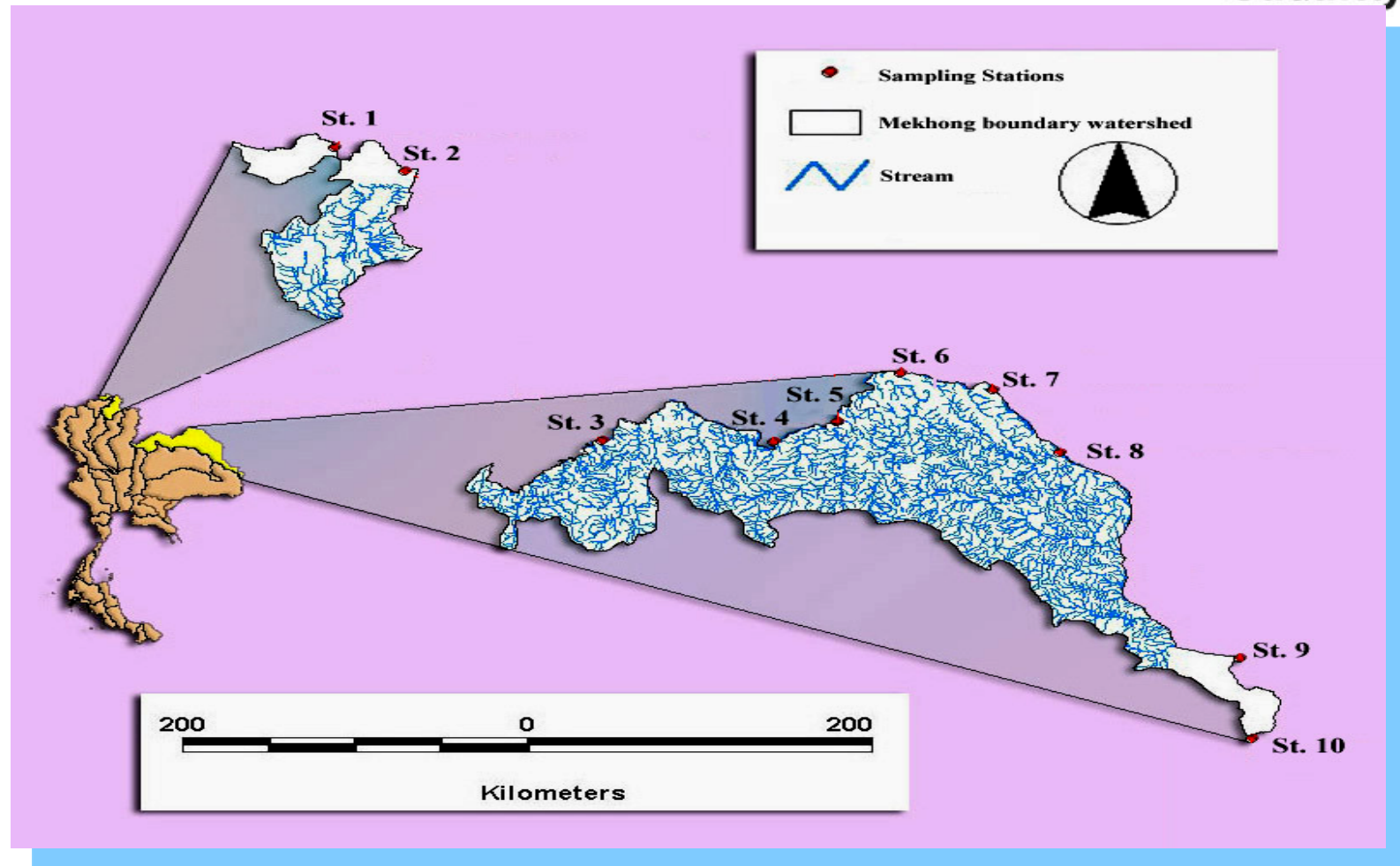


Figure 1 Locations of the sampling stations along the Mekong River.

A. Songsasen



Aim

The aim of this report is to examine the spatial distribution and seasonal variation of the PAHs and some heavy metals ion in the Mekong River, Thailand



Materials and methods

Analysis of PAHs in sediments

Weighed quantity (~0.2 g) of air-dried sediment was placed in a container



Added 20 ml of hexane

extracted for 50 minutes in an ultrasonic bath



centrifuge

Centrifugate



Spectrofluorometry

The fluorescence of diluted solution (EM = 360 nm, EX = 310 nm) was determined and compared with the fluorescence of standard chrysene solutions (UNEP, 1992).



HPLC

The extract was evaporated to dryness
in a rotary evaporator at 20-30 °C



the residue was transferred quantitatively into
a volumetric flask using acetonitrile.



Analysis of 16 PAHs in the extracts were performed
by HPLC-DAD (EPA 8310) using the standard
addition method.



Analysis of PAHs in water

500 ml of water from the Mekong River was passed through activated SPE-C18 column



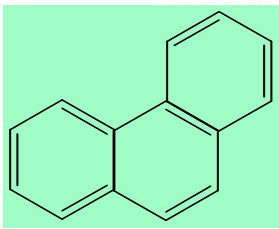
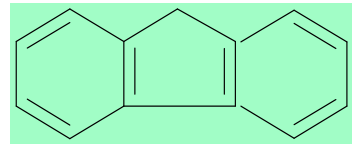
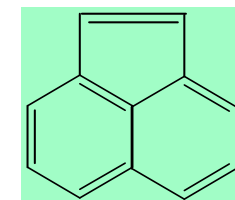
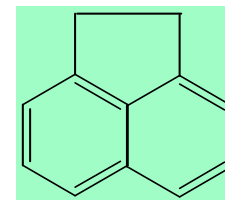
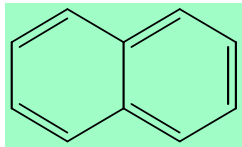
flow rate of 2 ml/min

The column was then eluted with hexane with a flow of 1 ml/min



HPLC-DAD

spectrofluorometry



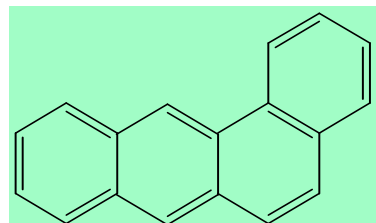
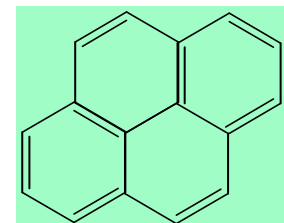
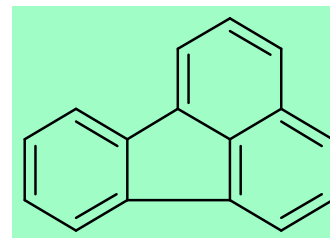
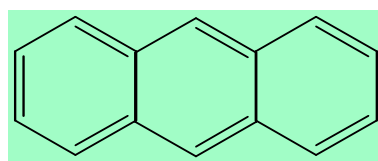
Naphthalene

Acenaphthene

Acenaphthylene

Fluorene

Phenanthrene

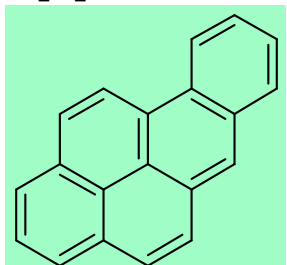
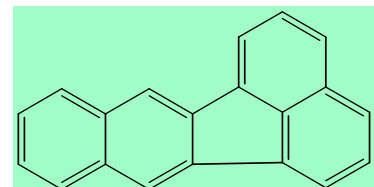
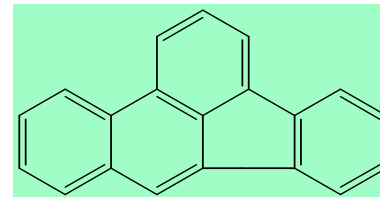
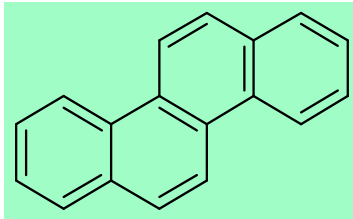


Anthracene

Fluoranthene

Pyrene

Benzo[a]anthracene

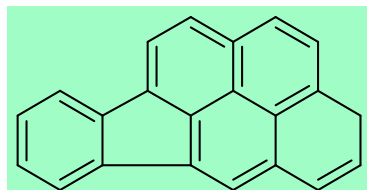
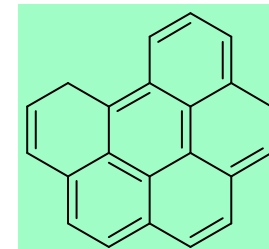
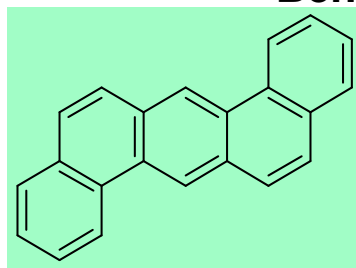


Chrysene

Benzo[b]fluoranthene

Benzo[k]fluoranthene

Benzo[a]pyrene



Dibenz[a,h]anthracene

Benzo[g,h,i]perylene

Indeno[1,2,3,cd]pyrene

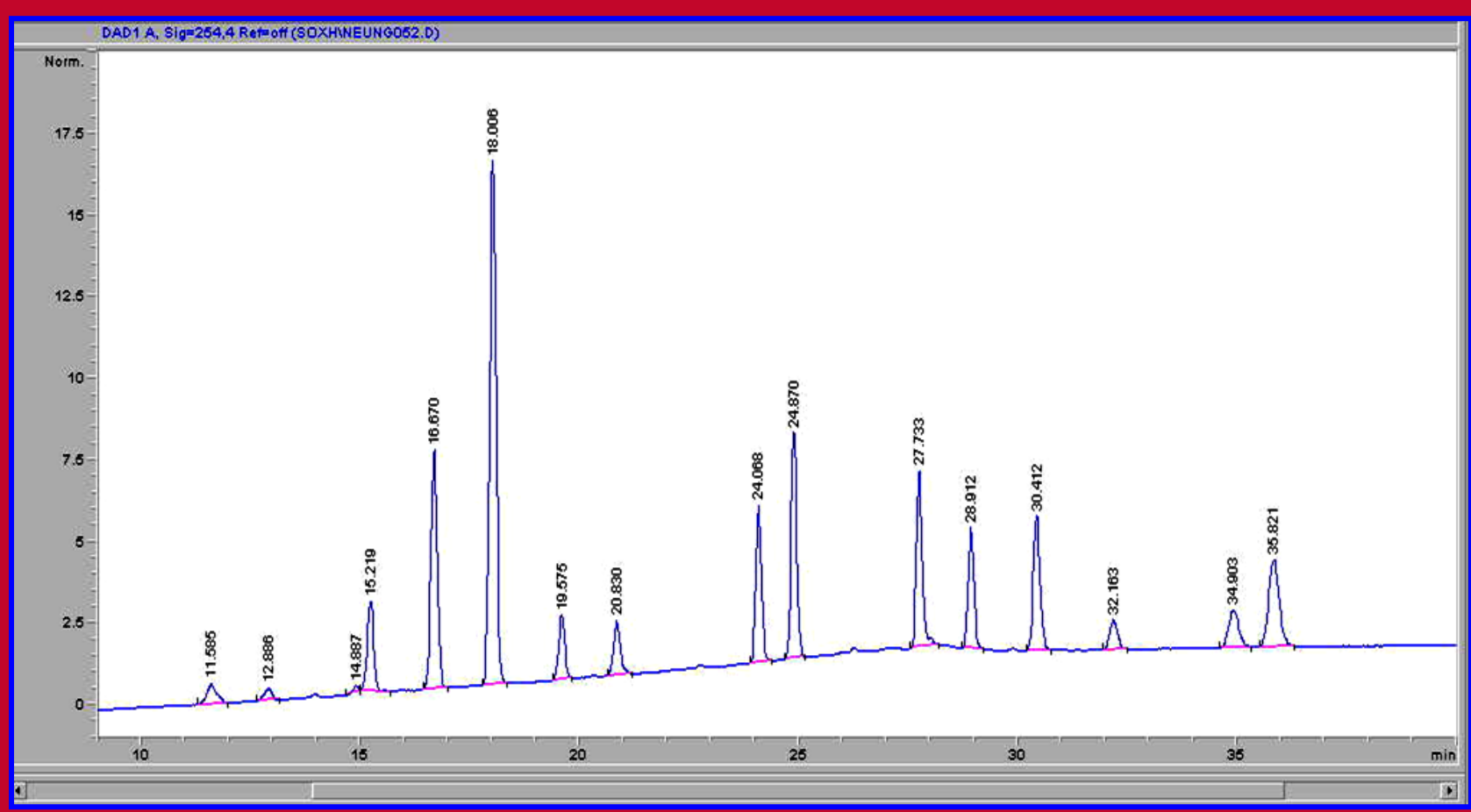


Figure 1 Standard chromatogram of 16 PAHs

A. Songsasen



Analysis of heavy metals in sediments

Weighed quantity (~0.5 g) of air-dried sediment was placed in microwave-assisted digester



200 °C, 1 Hr

Added HNO₃ and heat until the solution clear



Analyzed by AAS



Analysis of heavy metals in water

1 L of water was preconcentrated and placed in microwave-assisted digester



200 °C, 1 Hr

Added HNO₃ and heat until the solution clear



Analyzed by AAS



Determination of organic carbon in sediment

2g of grinded sediment was placed in a flask



5 ml 2M K_2CrO_4 , 10 ml H_2SO_4

Swirled gently until the sediment was completely wetted before allowed to stand for a minimum of 30 min.



O-phenanthroline ferrous sulfate

Titrate with FeSO_4 until the solution has red-brown in color



Results and discussion

A. Songsasen

**Table 1 %organic carbon in sediments from 10 stations**

Station	% OC
1	0.69
2	0.67
3	0.80
4	0.69
5	1.00
6	1.10
7	1.78
8	1.29
9	0.81
10	1.10



Table 2 % sand, silt and clay in sediments

Station	Sand (%)	Silt (%)	Clay (%)
1	74.18	19.51	6.31
2	90.45	6.01	3.54
3	74.37	17.93	7.70
4	99.27	0.37	0.36
5	67.05	18.94	14.01
6	70.96	20.13	8.91
7	57.26	31.28	11.46
8	81.56	14.77	3.67
9	80.03	1.72	18.25
10	92.04	1.75	6.21

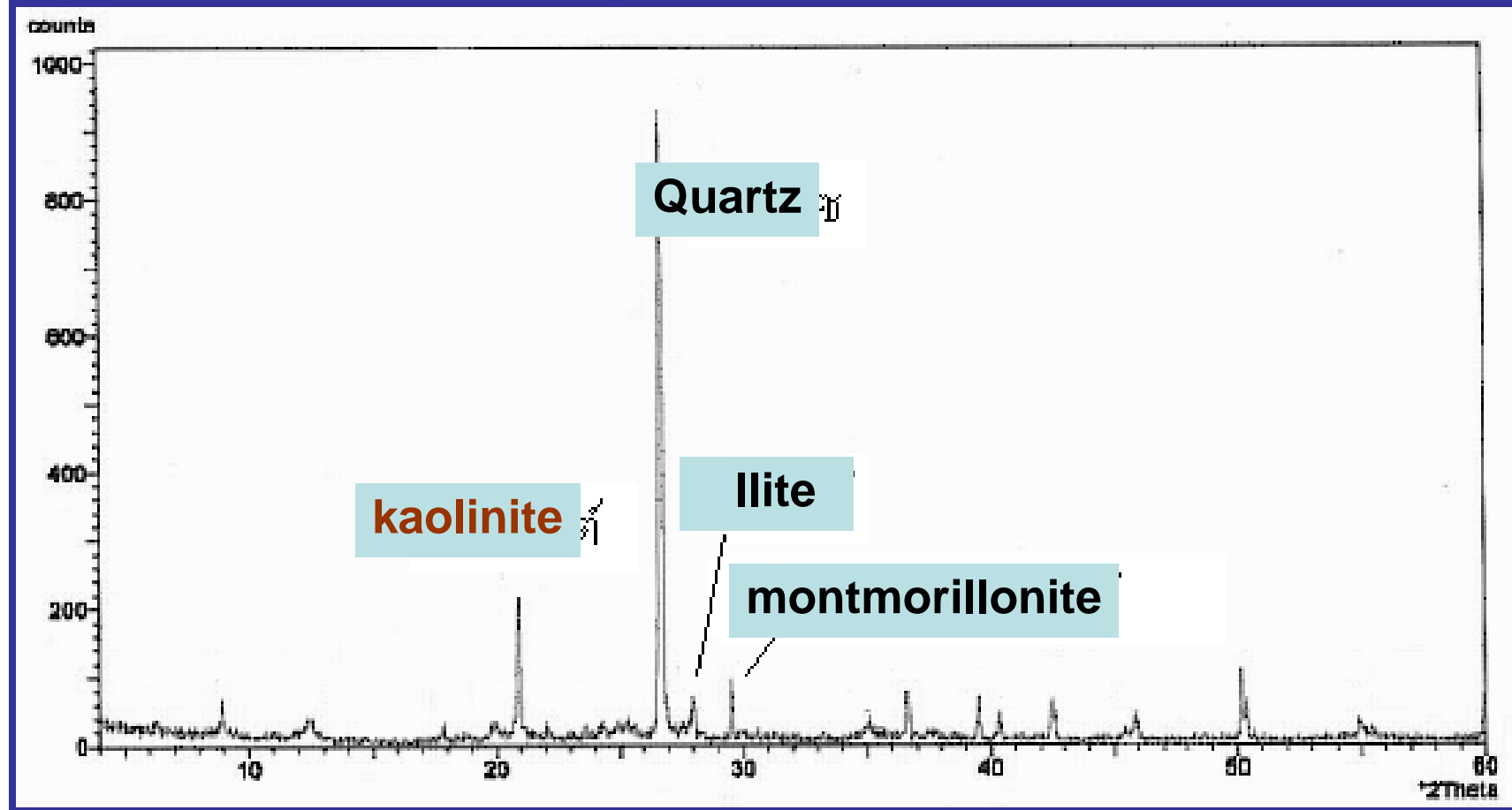


Figure 2 XPD spectrum of sediment from station 1

A. Songsasen

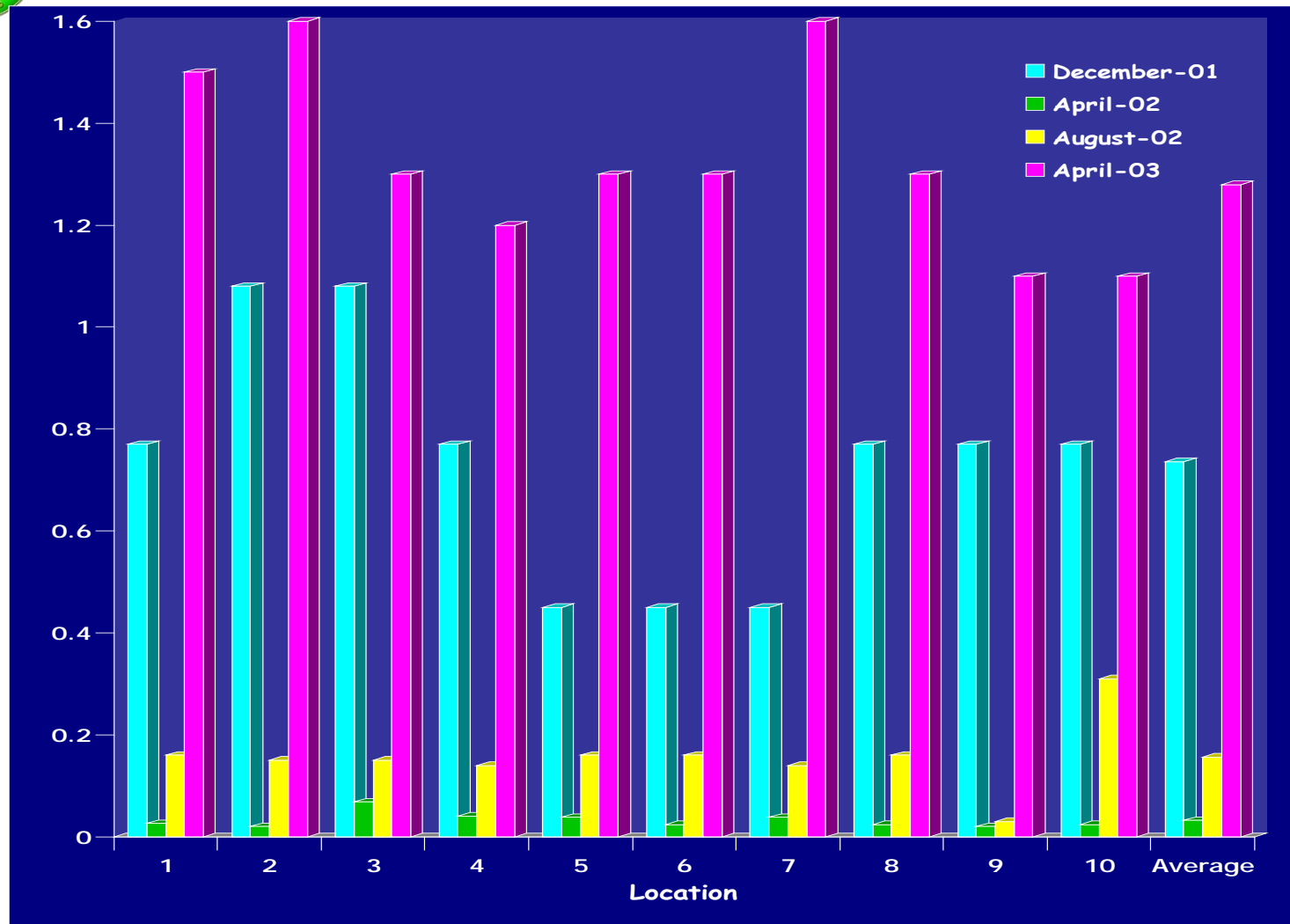


Figure 3 Total PAHs concentration in surface water (µg/L)

A. Songsasen

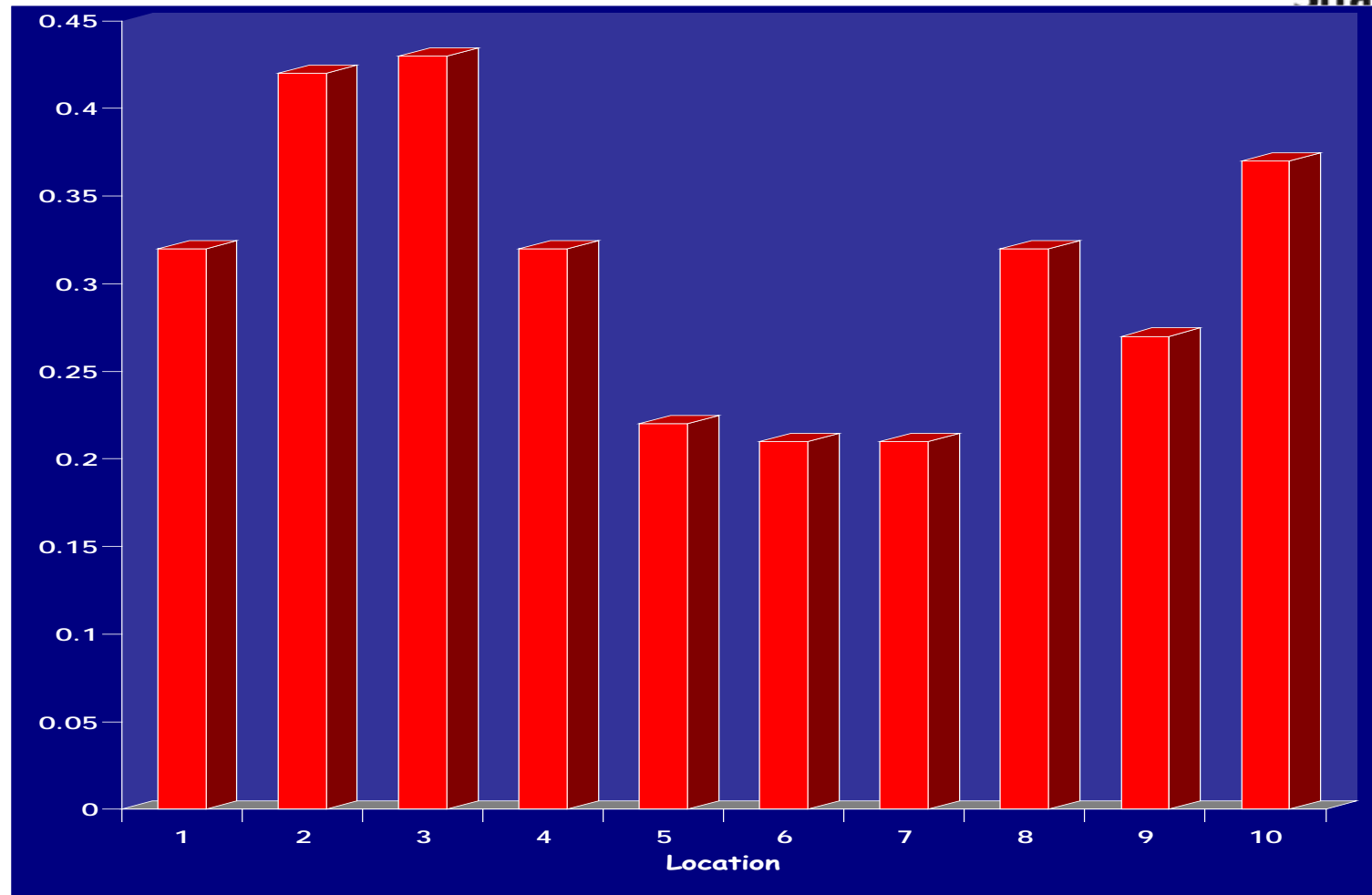


Figure 4 Average PAHs of all seasons in water from different stations along the Mekong River (mg/kg)

A. Songsasen

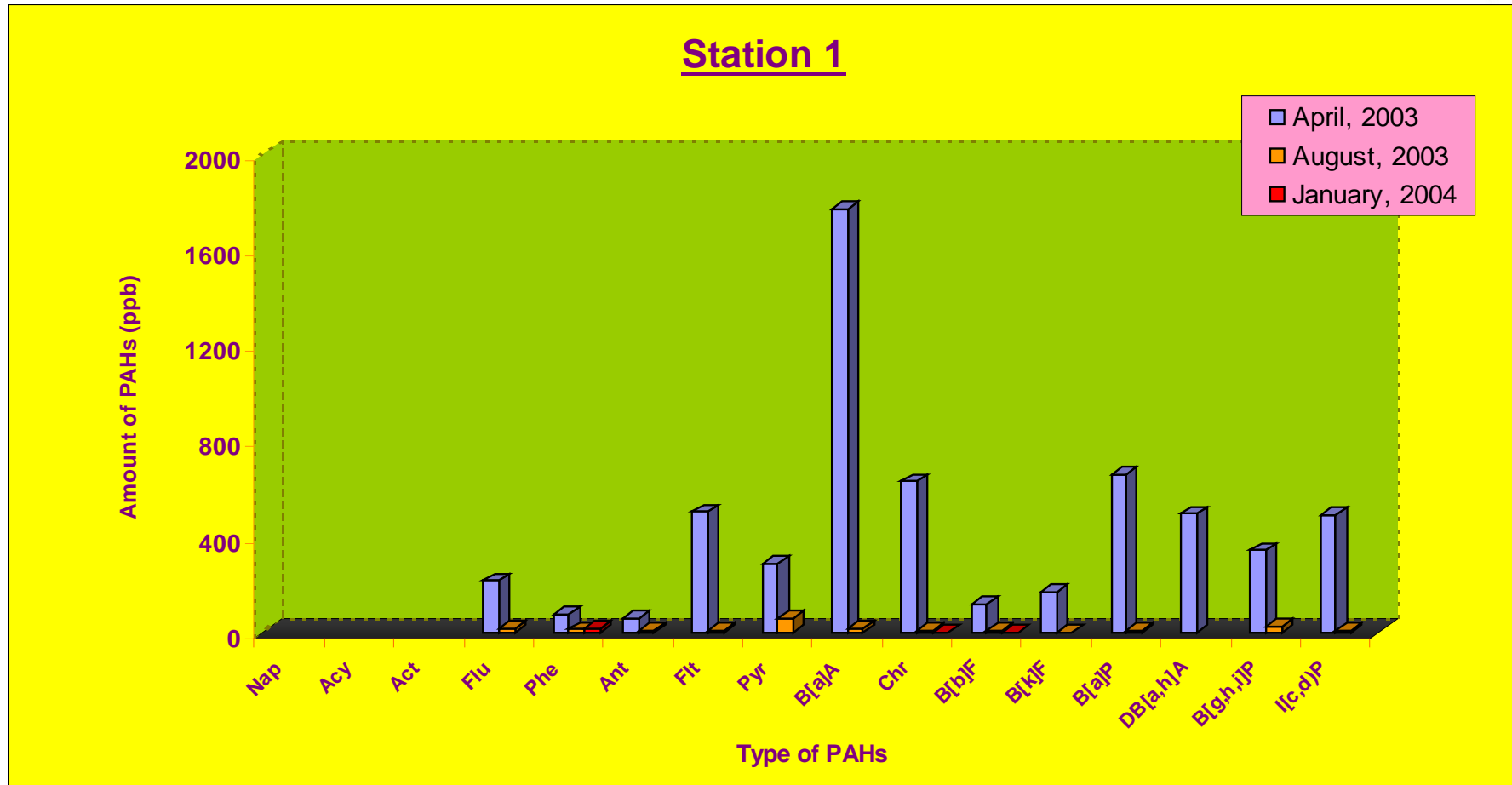


Figure 5 Seasonal variation of each PAHs in the Thai:Laos Mekong River at station 1 : GOLDEN TRIANGLE

Station 2

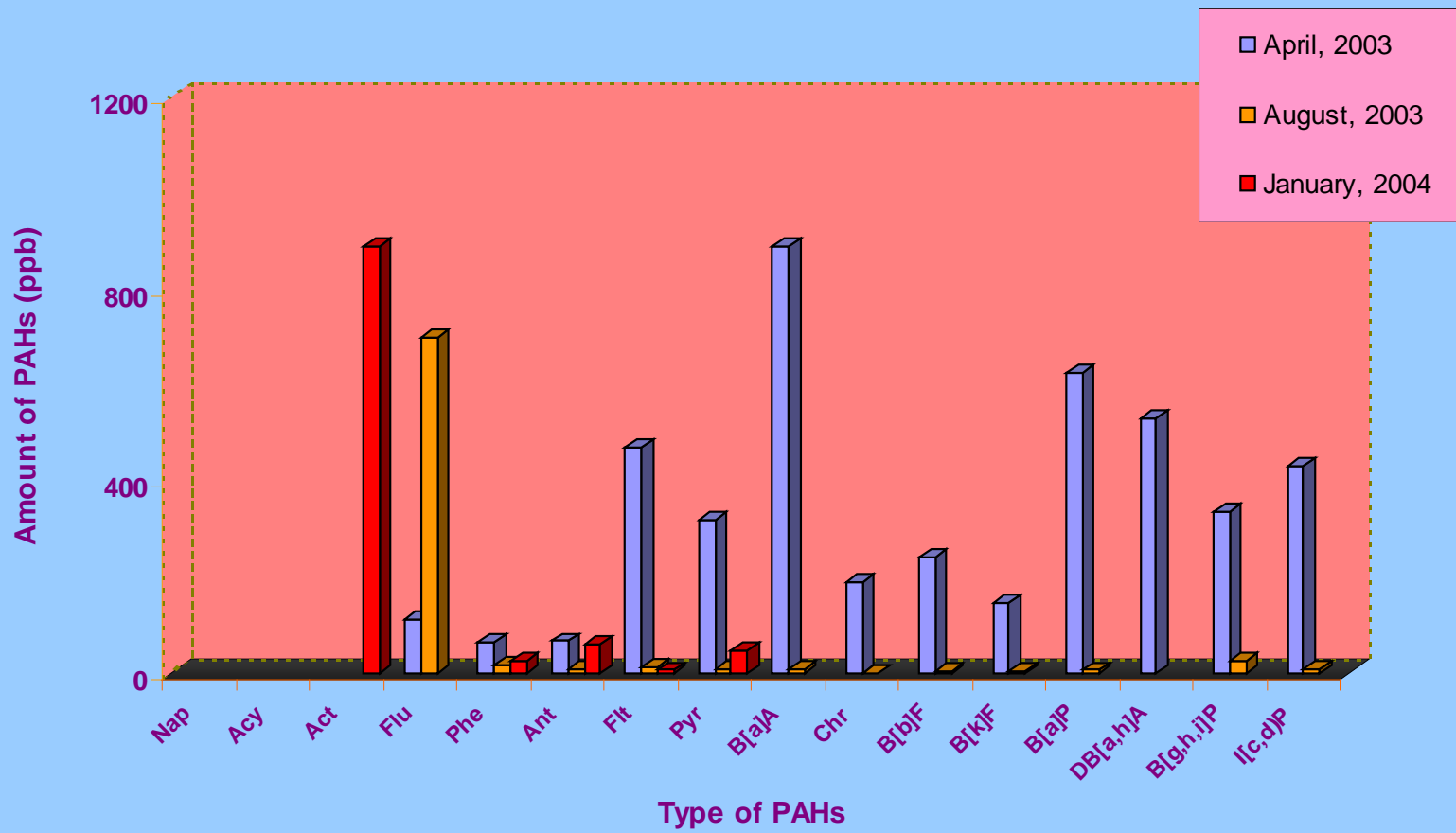


Figure 6 Seasonal variation of each PAHs in the Thai:Laos Mekong River at station 2 : BAN CHEAM PONG

A. Songsasen

Station 3

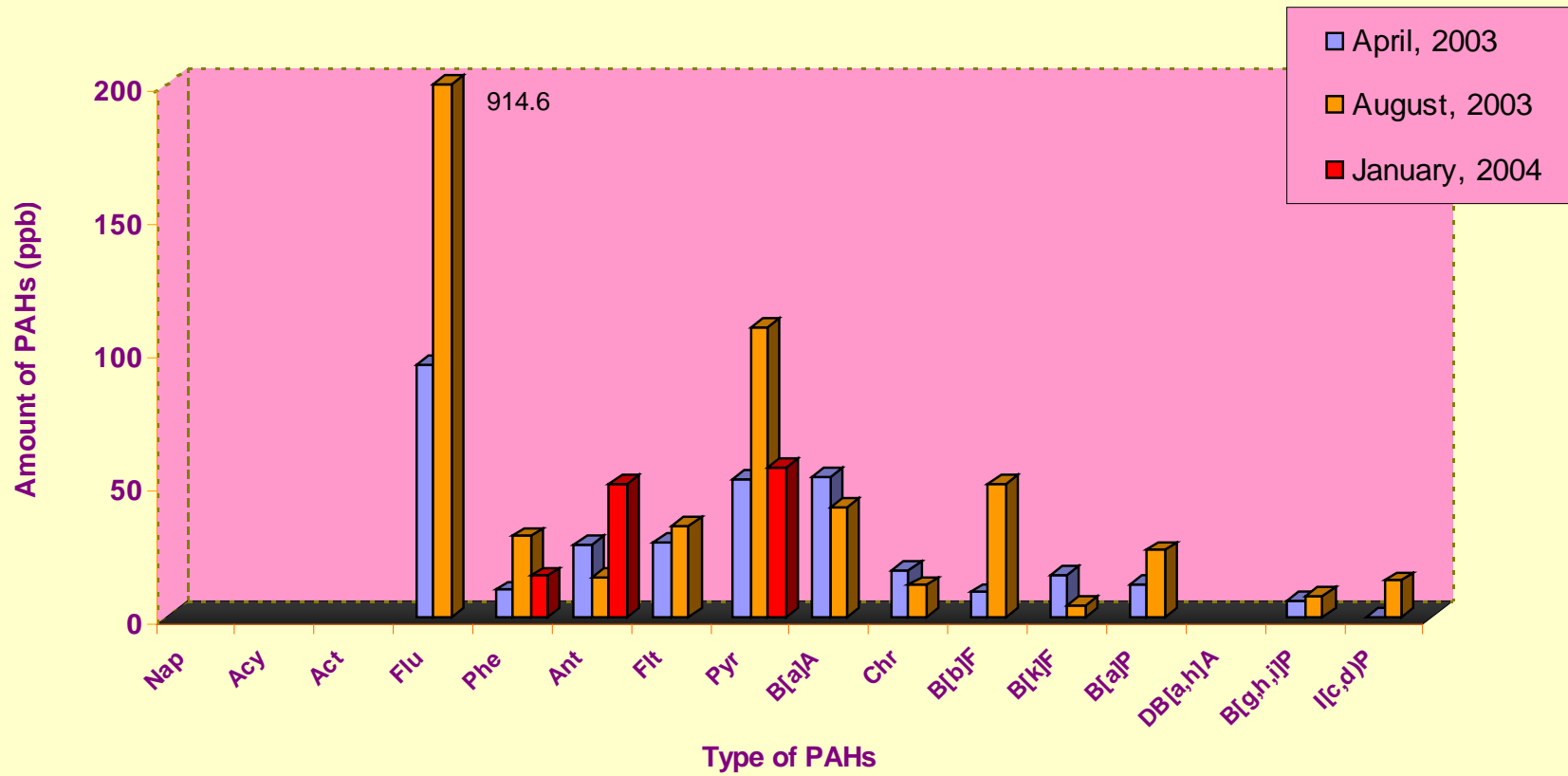


Figure 7 Seasonal variation of each PAHs in the Thai:Laos Mekong River at station 3 : A COMMUNITY CENTRE

A. Songsasen

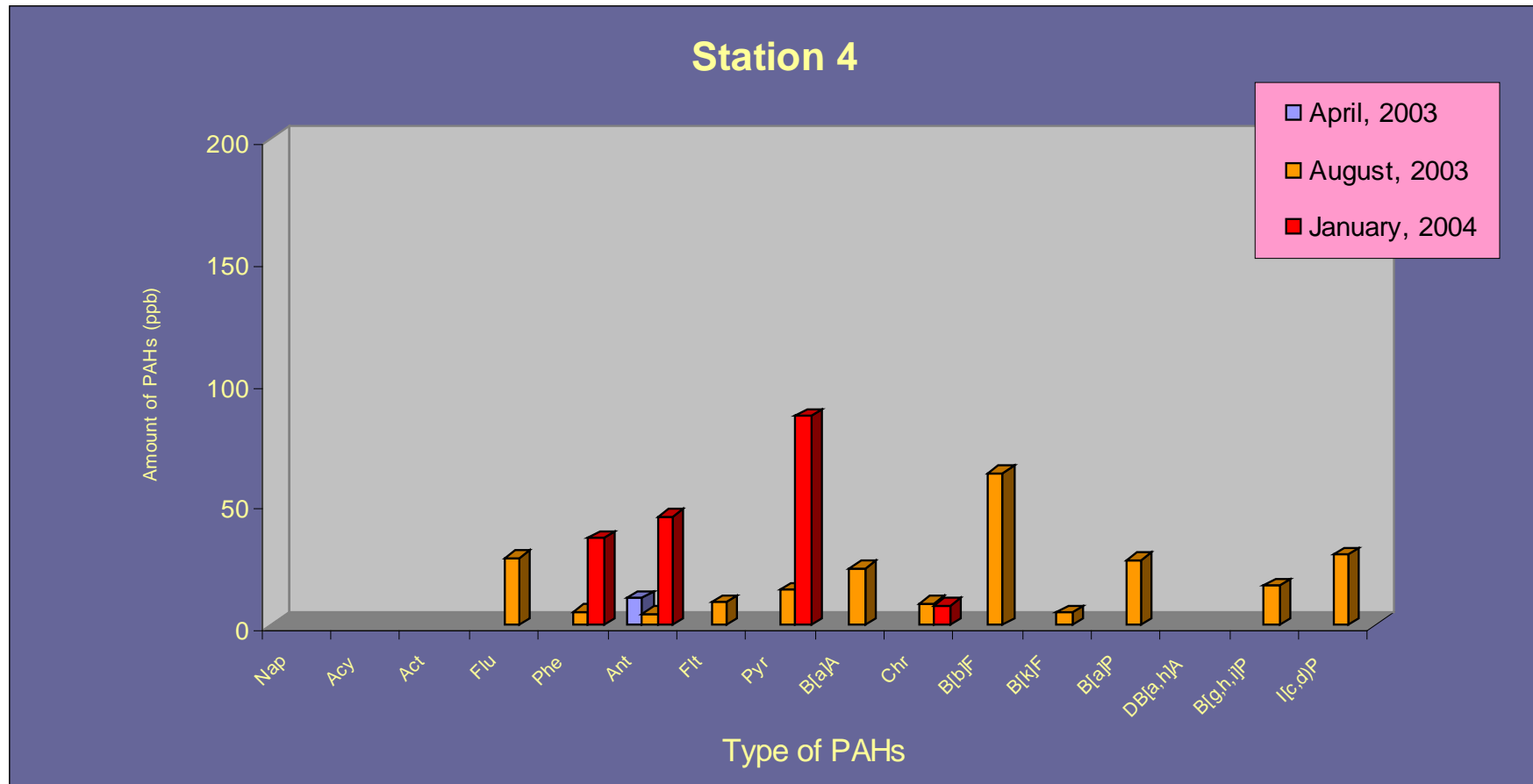


Figure 8 Seasonal variation of each PAHs in the Thai:Laos Mekong River at station 4 : LAOS FRIENDSHIP BRIDGE

A. Songsasen

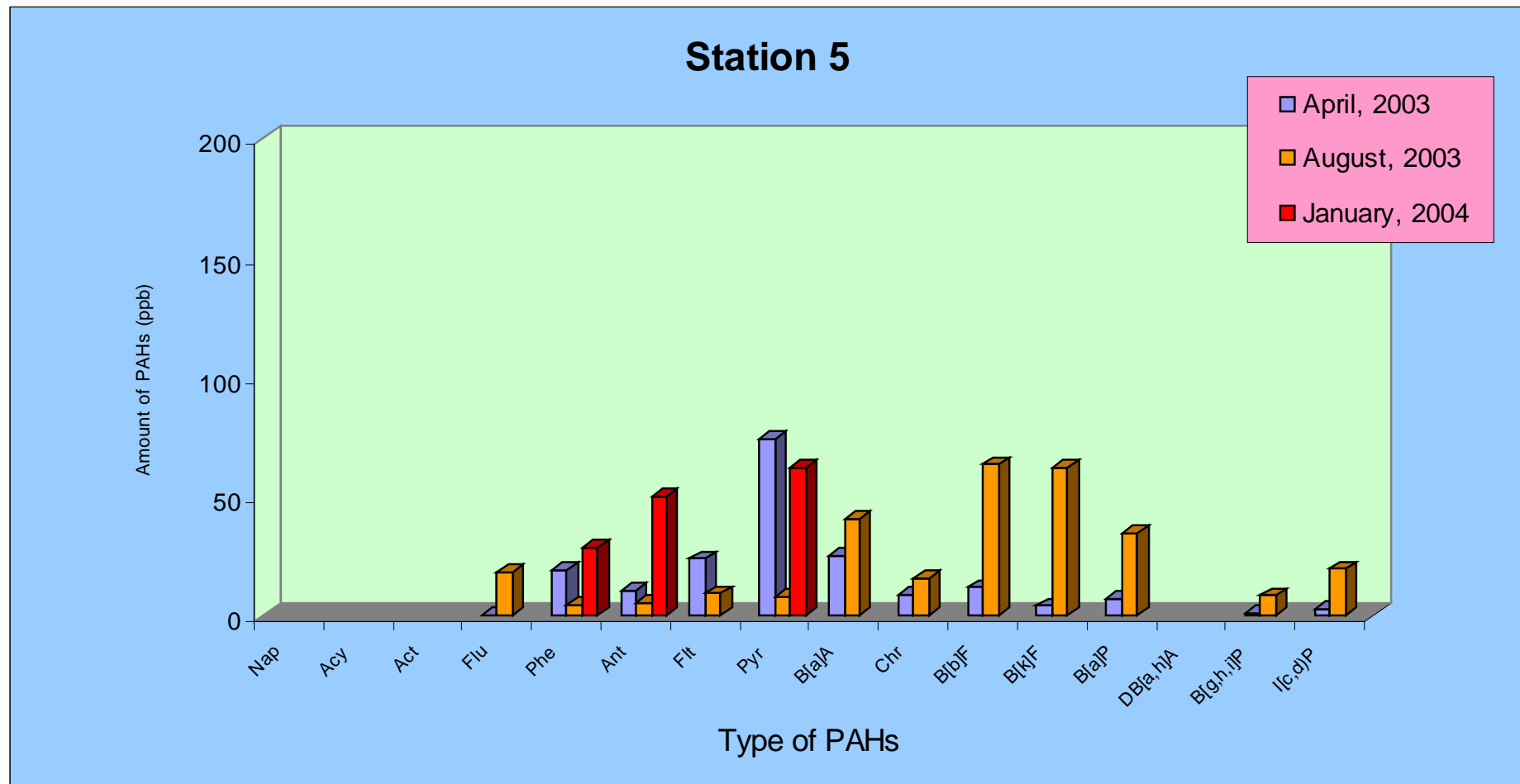
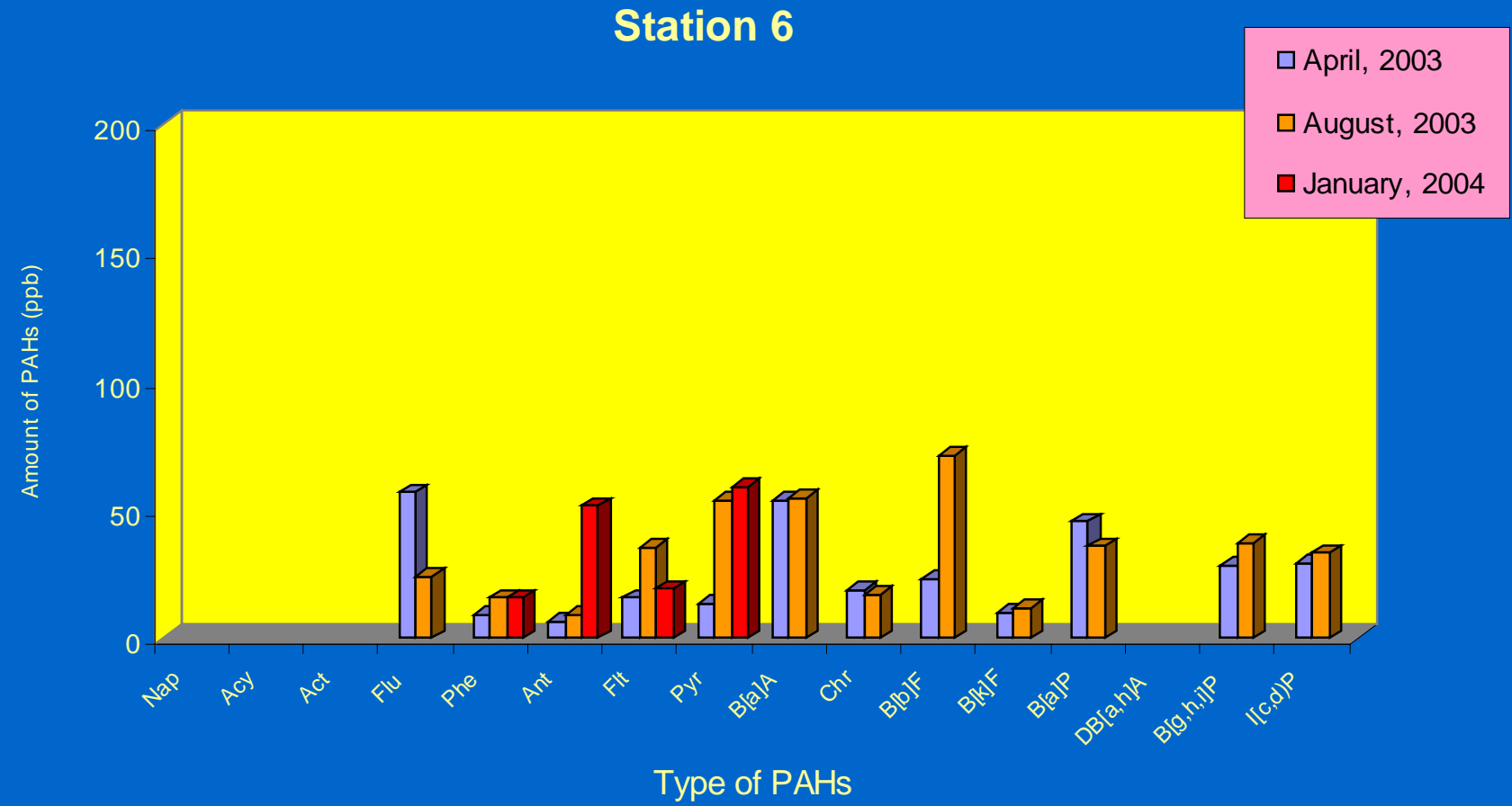


Figure 9 Seasonal variation of each PAHs in the Thai:Laos Mekong River at station 5 : HUAILUANG

A. Songsasen



**Figure 10 Seasonal variation of each PAHs in the
Thai:Laos Mekong River at station 6 : WAT AR HONG**

A. Songsasen

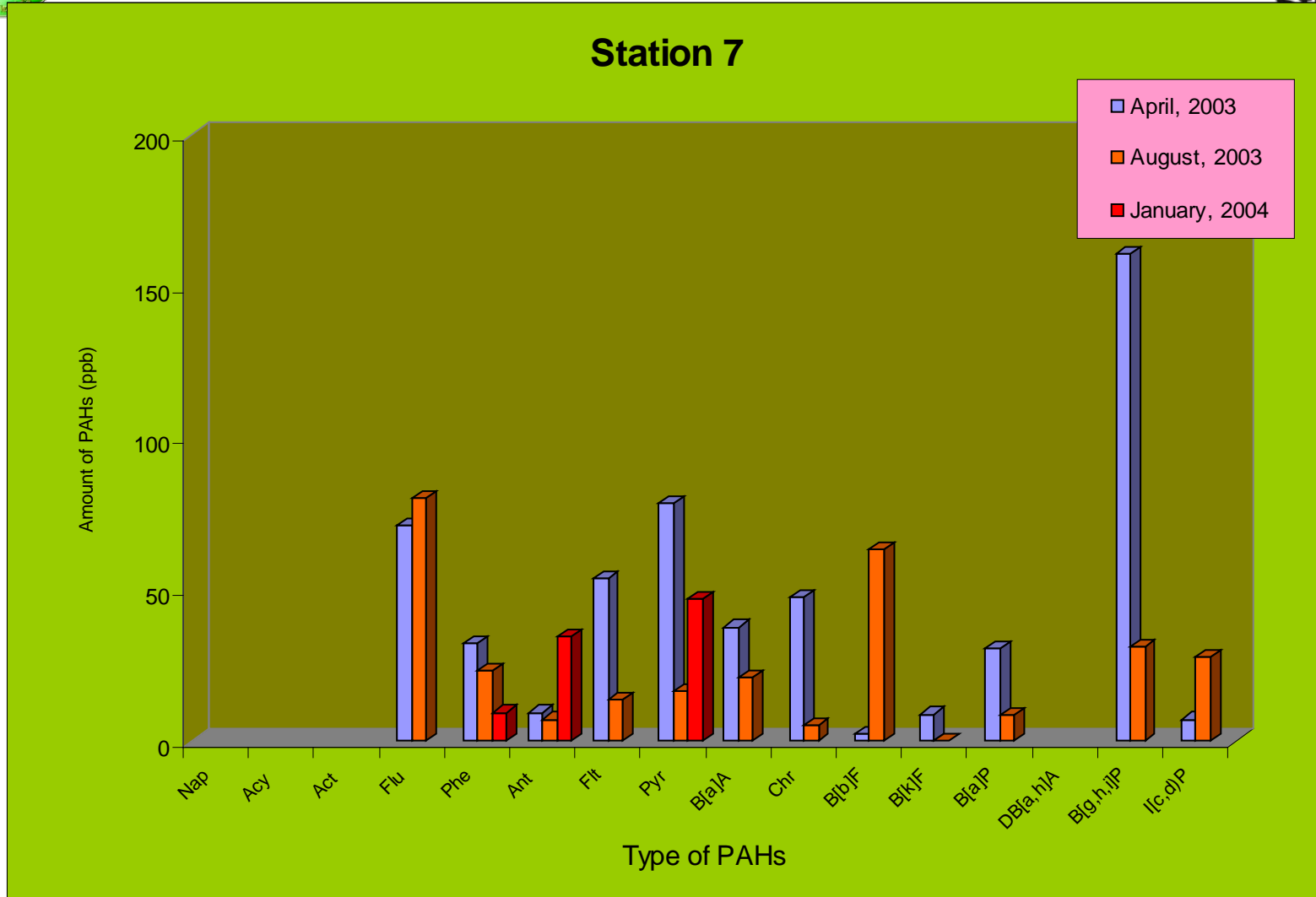


Figure 11 Seasonal variation of each PAHs in the Thai:Laos Mekong River at station 7 : SRI SONGKHRAM RIVER

A. Songsasen

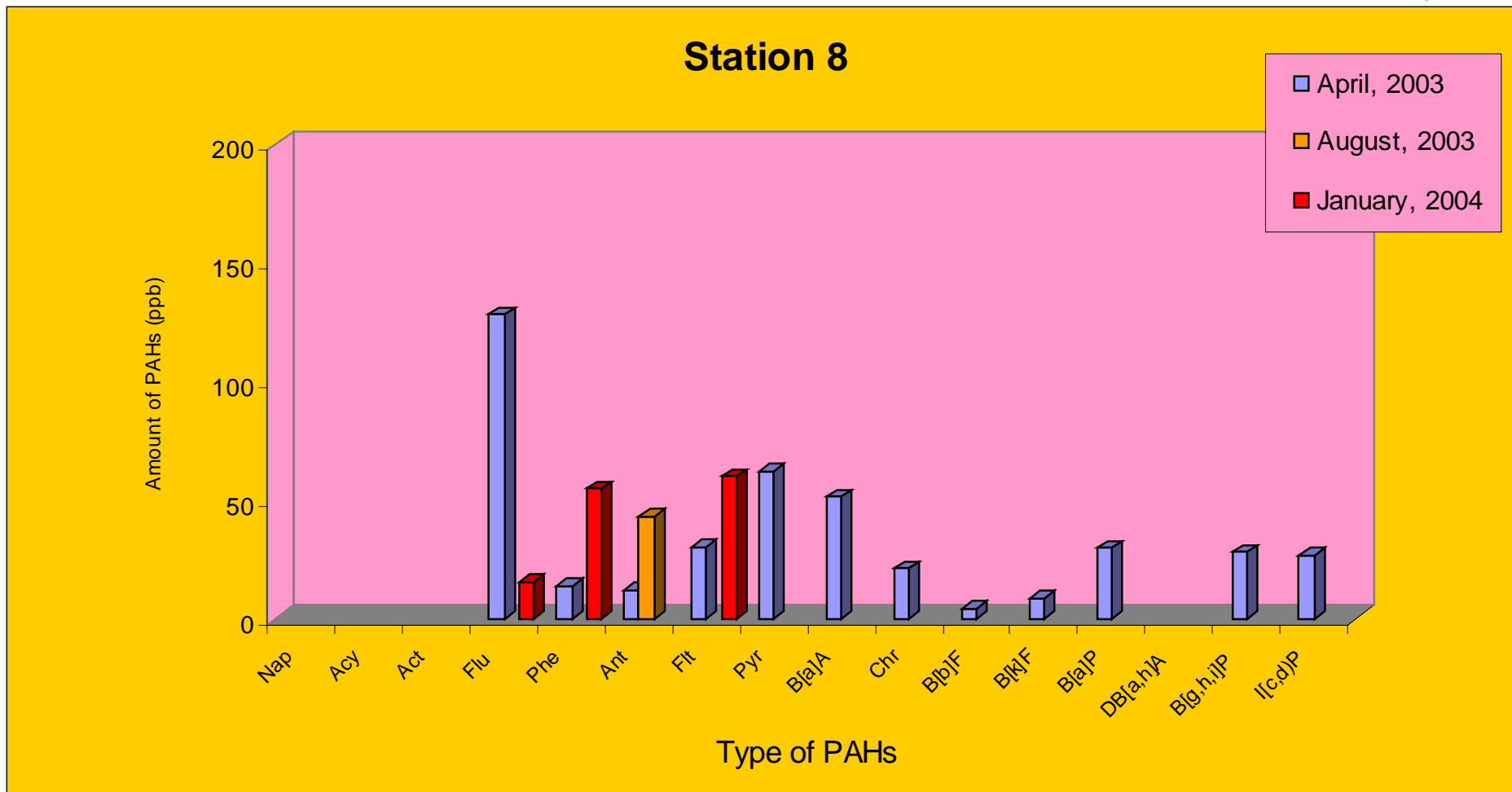


Figure 12 Seasonal variation of each PAHs in the Thai:Laos Mekong River at station 8 : AMPHOE THAT PHRA NOM

A. Songsasen

Station 9

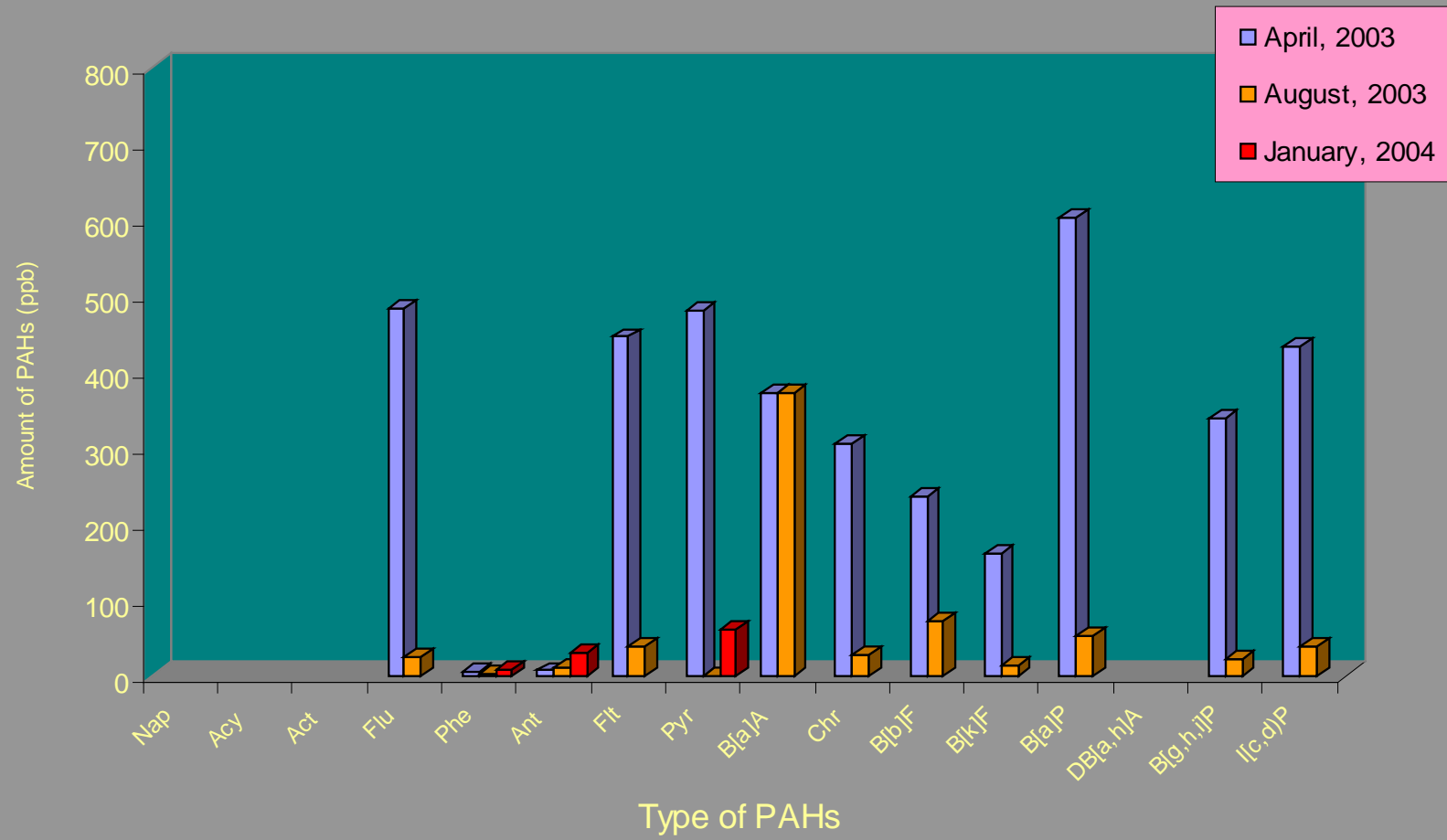


Figure 13 Seasonal variation of each PAHs in the Thai:Laos Mekong River at station 9 : WAT KHONG CHIAM BURAWAS

A. Songsasen

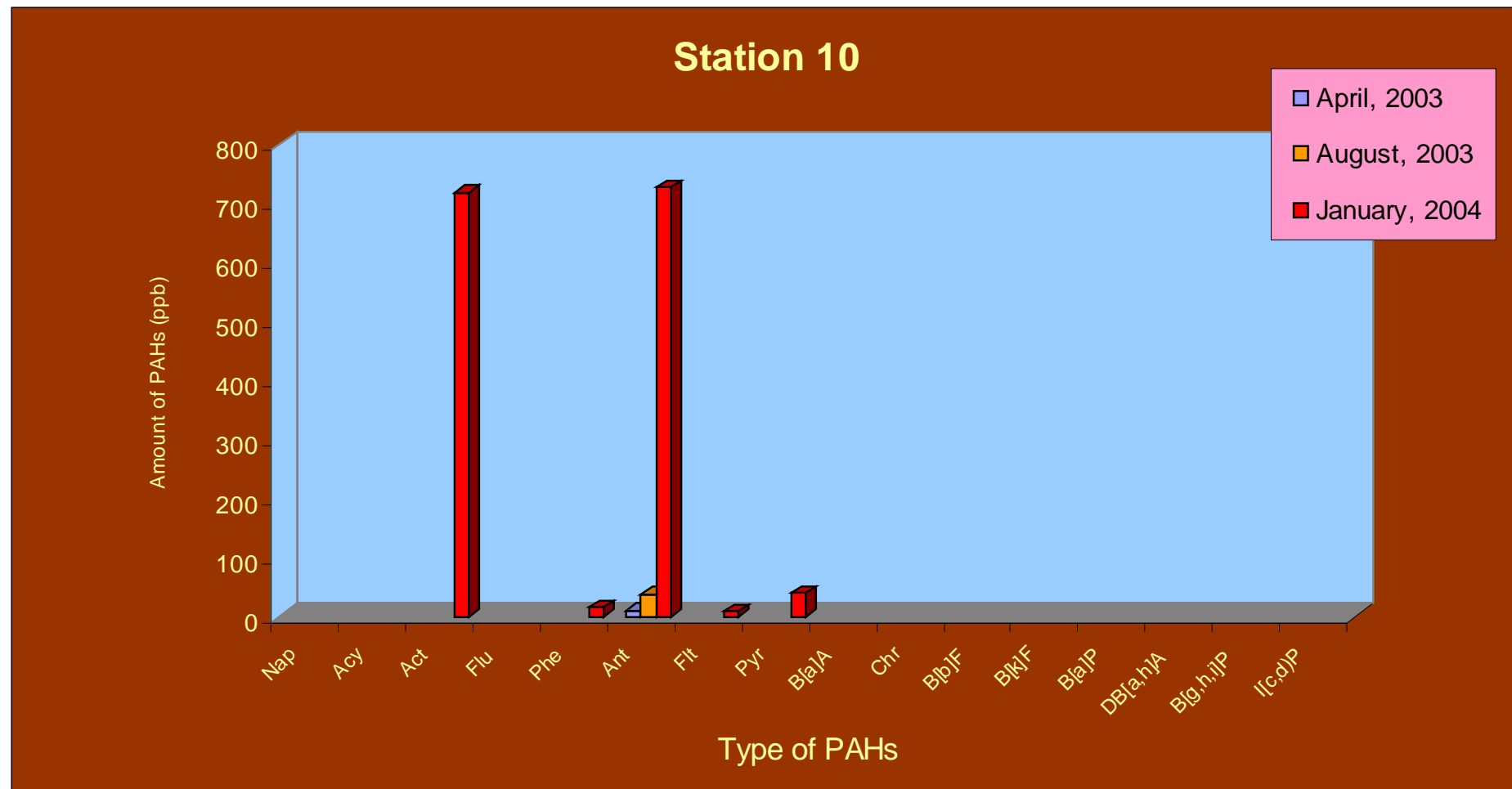


Figure 14 Seasonal variation of each PAHs in the Thai:Laos Mekong River at station 10 : AMPHOE KHONG CHIAM

A. Songsasen



1. the distribution of various PAHs was effected by the changing in season. In summer, the concentration of PAHs of all stations were higher than other seasons.

2. The concentration of PAHs in station 1, 2 and 9 were quite high compare to other stations.



3. The presences of carcinogenic PAHs
(5-6) rings i.e. benzo[b]fluoranthene,
benzo[k]fluoranthene, benzo[a]pyrene,
dibenzo[a,h]anthracene,benzo[g,h,i]perylene
and indeno[1,2,3,cd]pyrene were observed
in every station. This may effect the health
problem to the life along the Mekong river.

4. This work shows the distribution of PAHs
in the Mekong river at various locations and
seasons. It seems that there is a seasonal
variation associated with rain and Temp.

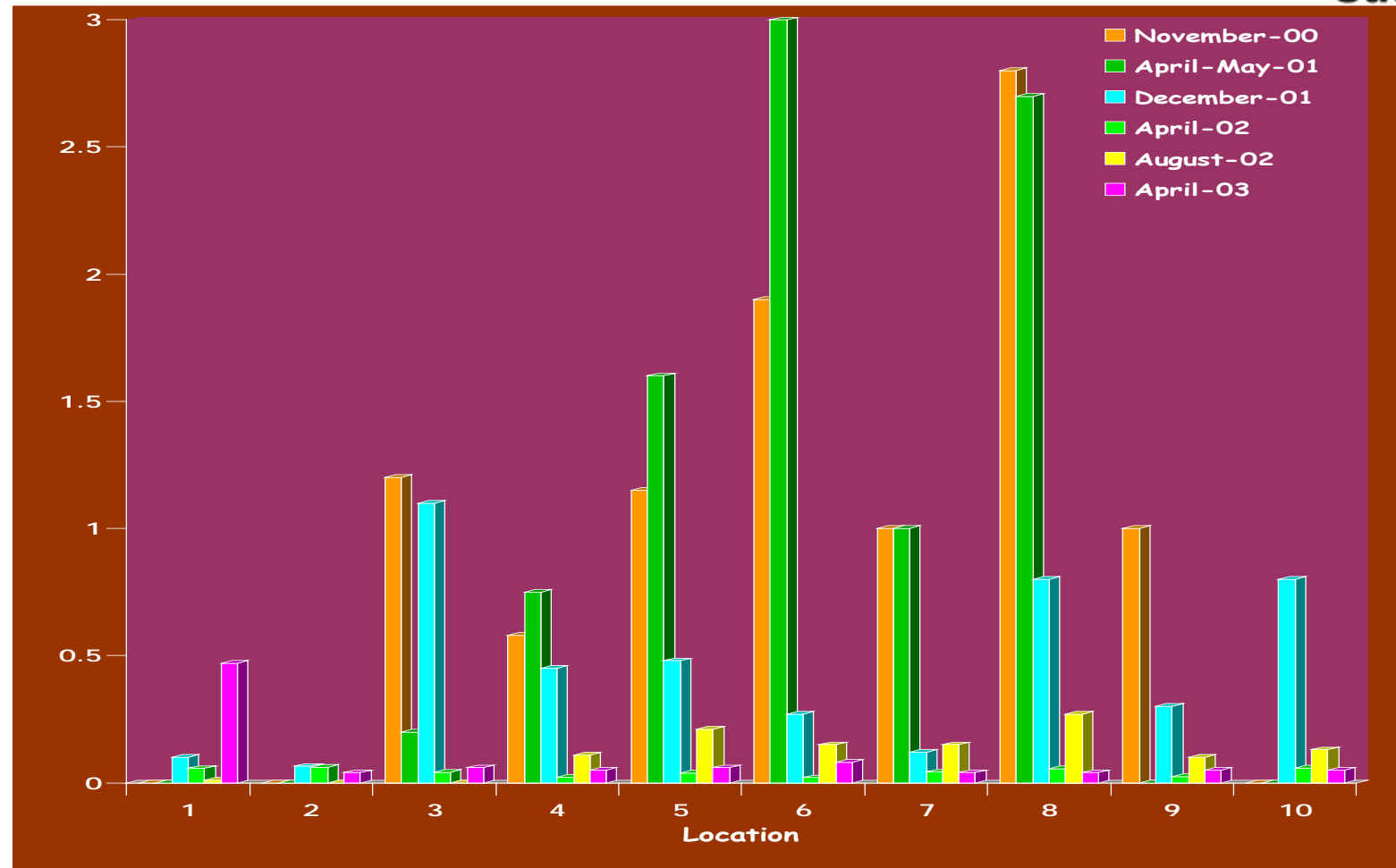


Figure 15 Total PAHs concentration in sediments (µg/g dry weight)

A. Songsasen

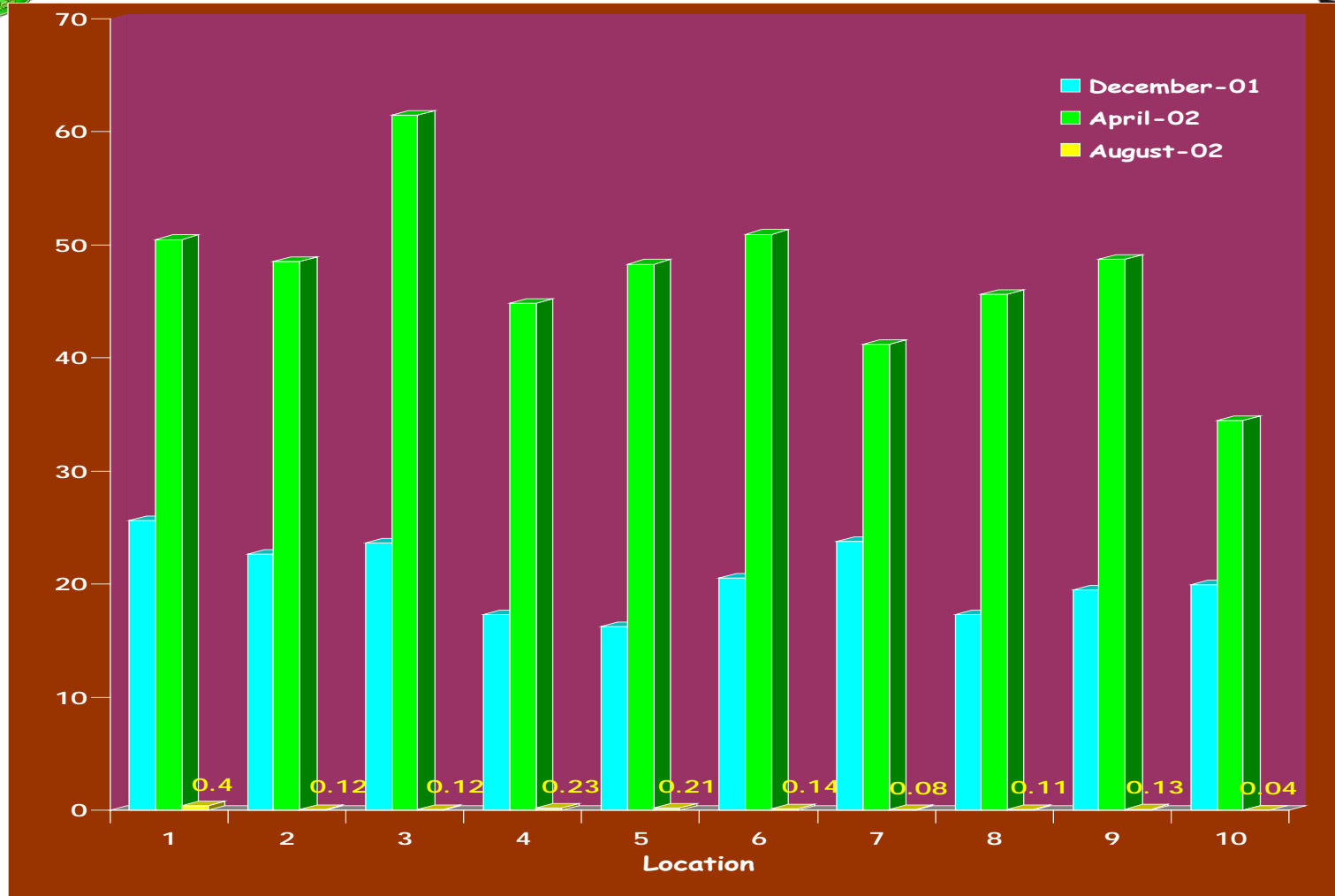


Figure 16 Seasonal variation of PAHs in sediment from different stations along the Mekong River (mg/kg)

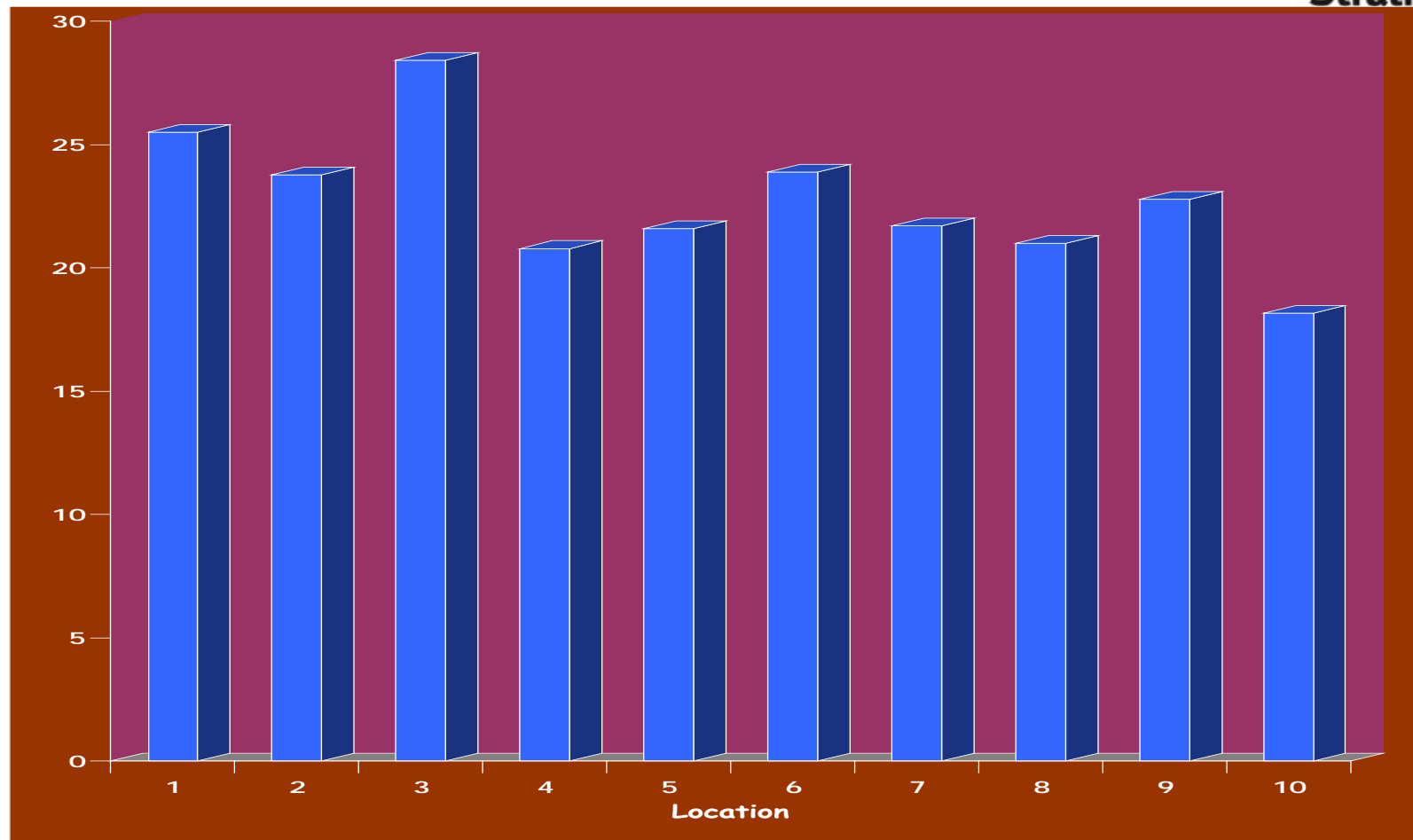


Figure 17 Average PAHs of all seasons in sediment from different stations along the Mekong River (mg/kg)

A. Songsasen

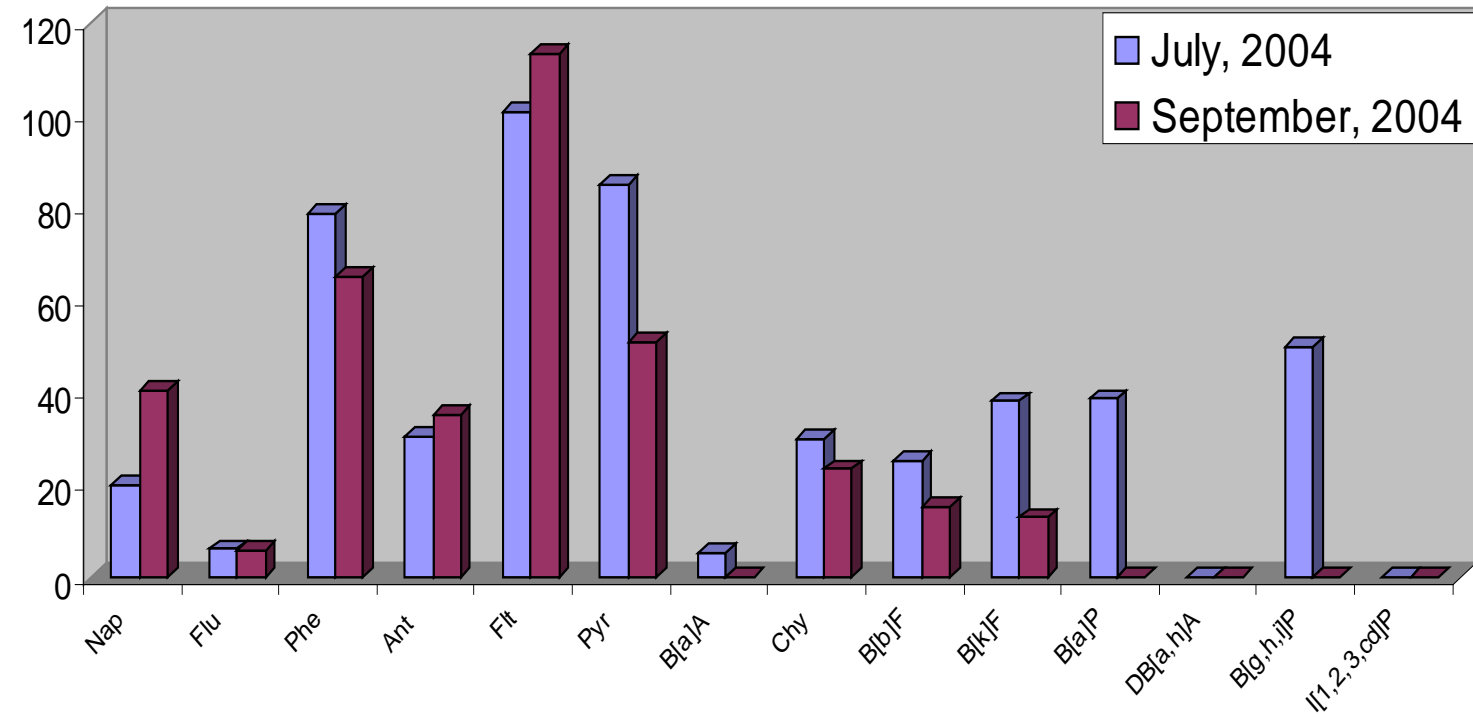


Figure 18 Seasonal variation of each PAHs in the sediment from Thai:Laos Mekong River at station 1 : GOLDEN TRIANGLE

A. Songsasen

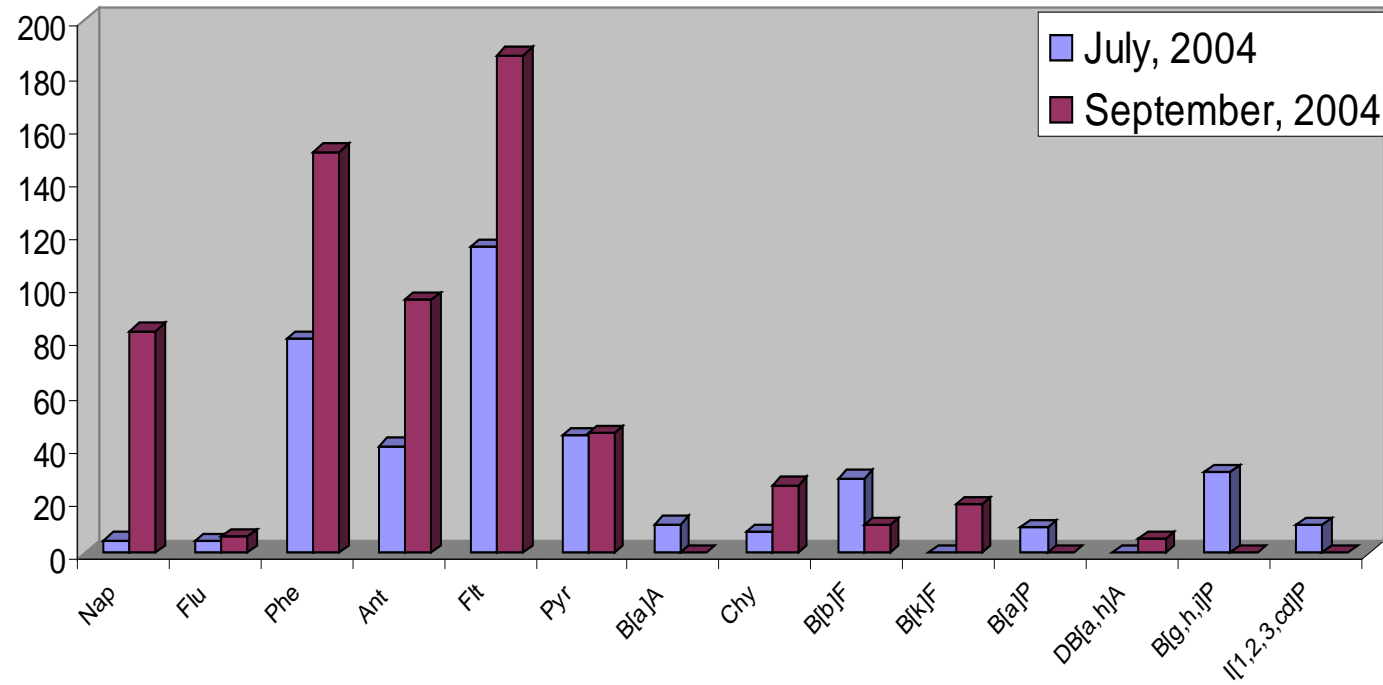


Figure 19 Seasonal variation of each PAHs in the sediment from Thai:Laos Mekong River at station 2 : BAN CHEAM PONG

A. Songsasen

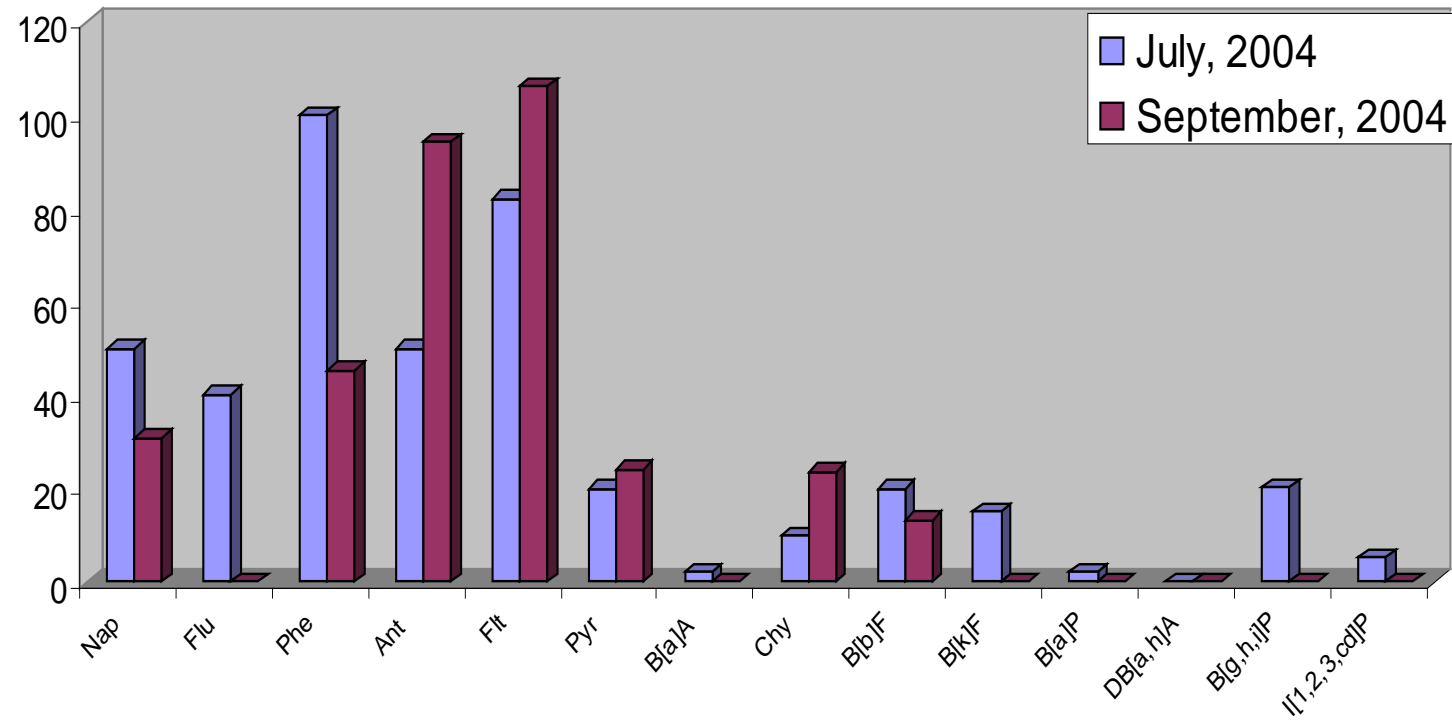


Figure 20 Seasonal variation of each PAHs in the sediment from Thai:Laos Mekong River at station 3 : A COMMUNITY CENTRE

A. Songsasen

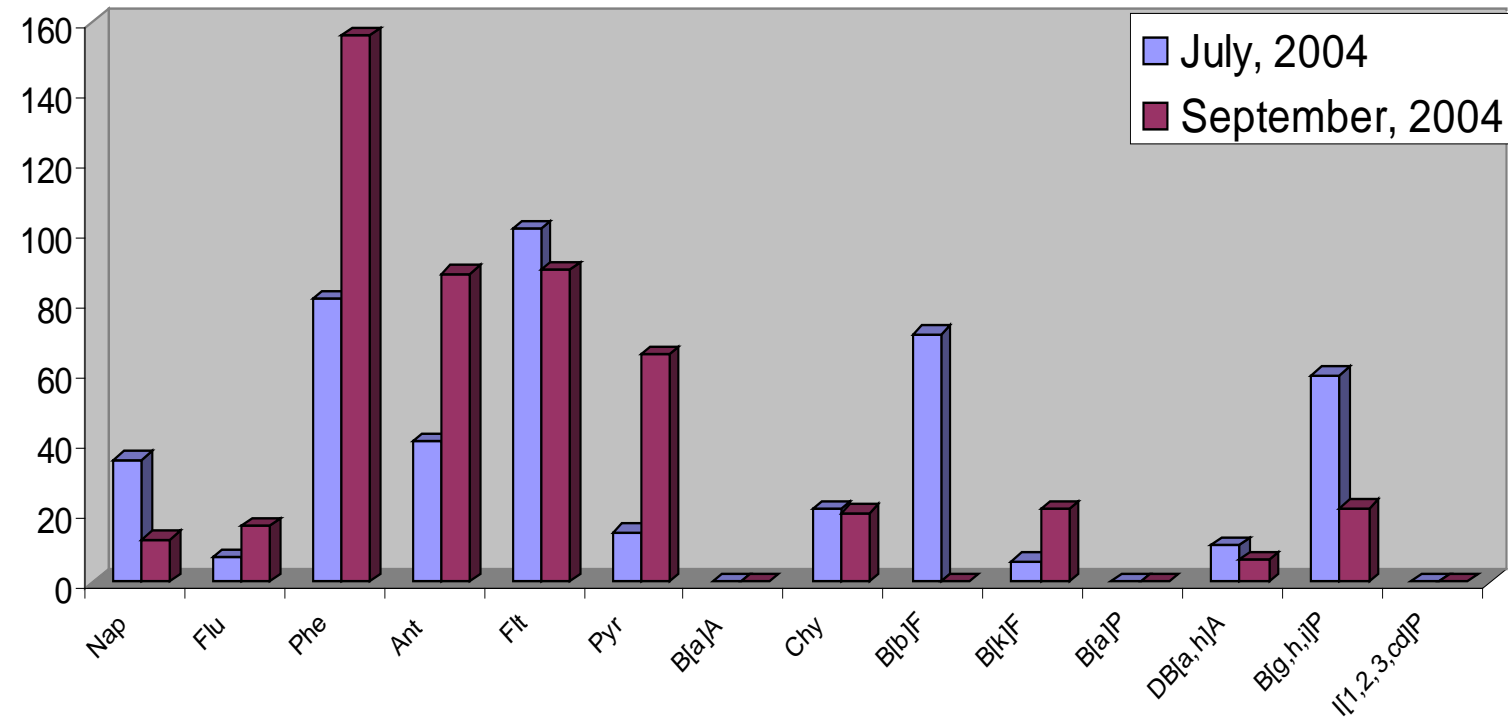


Figure 21 Seasonal variation of each PAHs in the sediment from the Thai:Laos Mekong River at station 4 : **LAOS FRIENDSHIP BRIDGE**

A. Songsasen

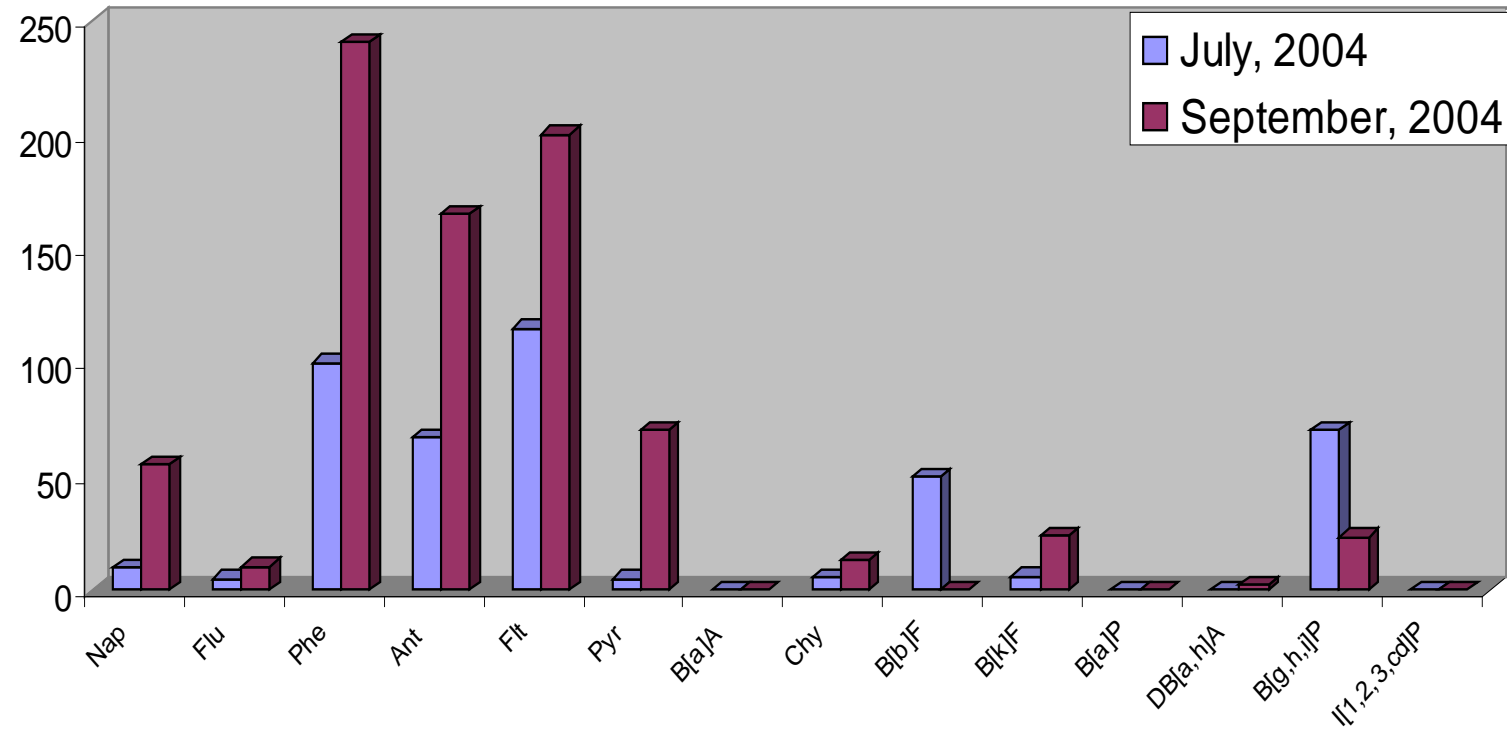
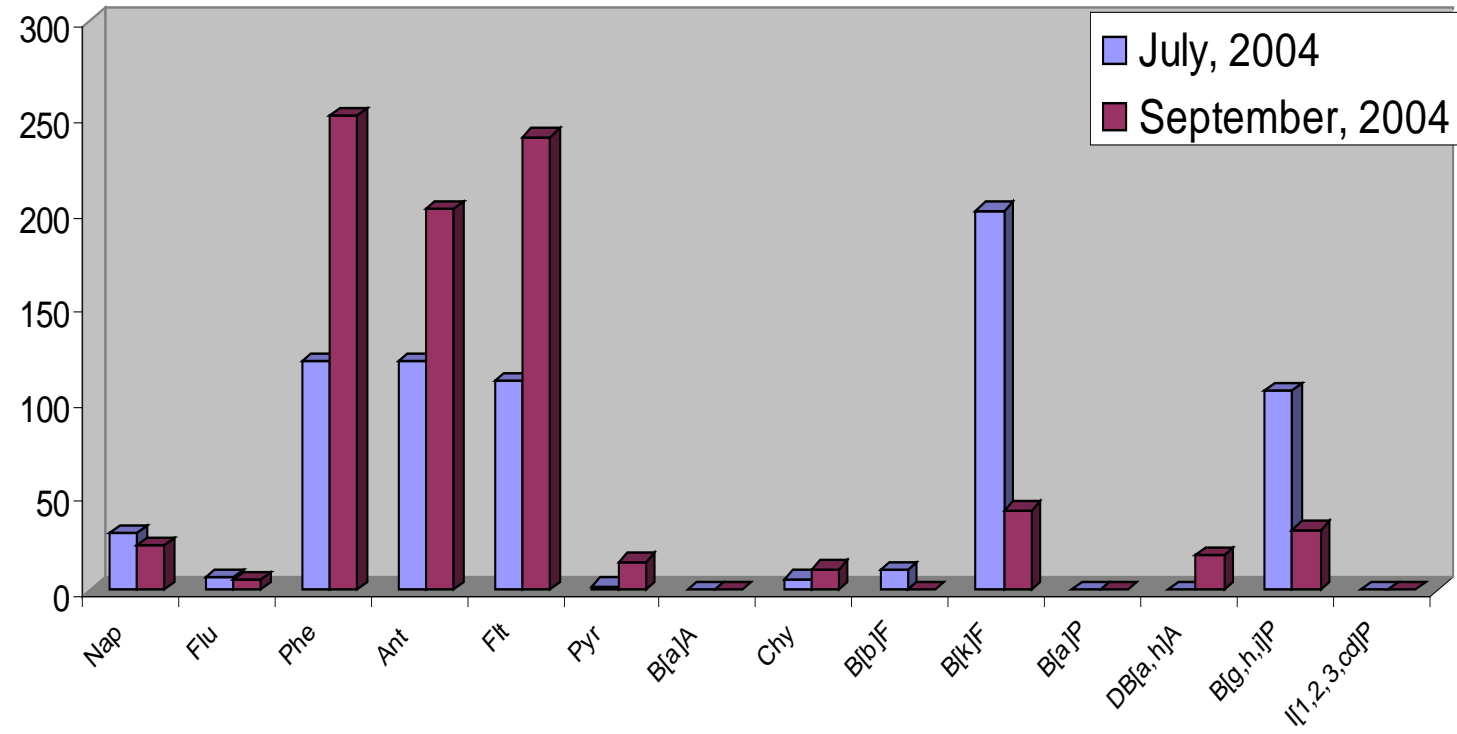


Figure 22 Seasonal variation of each PAHs in the sediment from Thai:Laos Mekong River at station 5 : HUAILUANG

A. Songsasen



**Figure 23 Seasonal variation of each PAHs in the sediment from
Thai:Laos Mekong River at station 6 : WAT AR HONG**

A. Songsasen

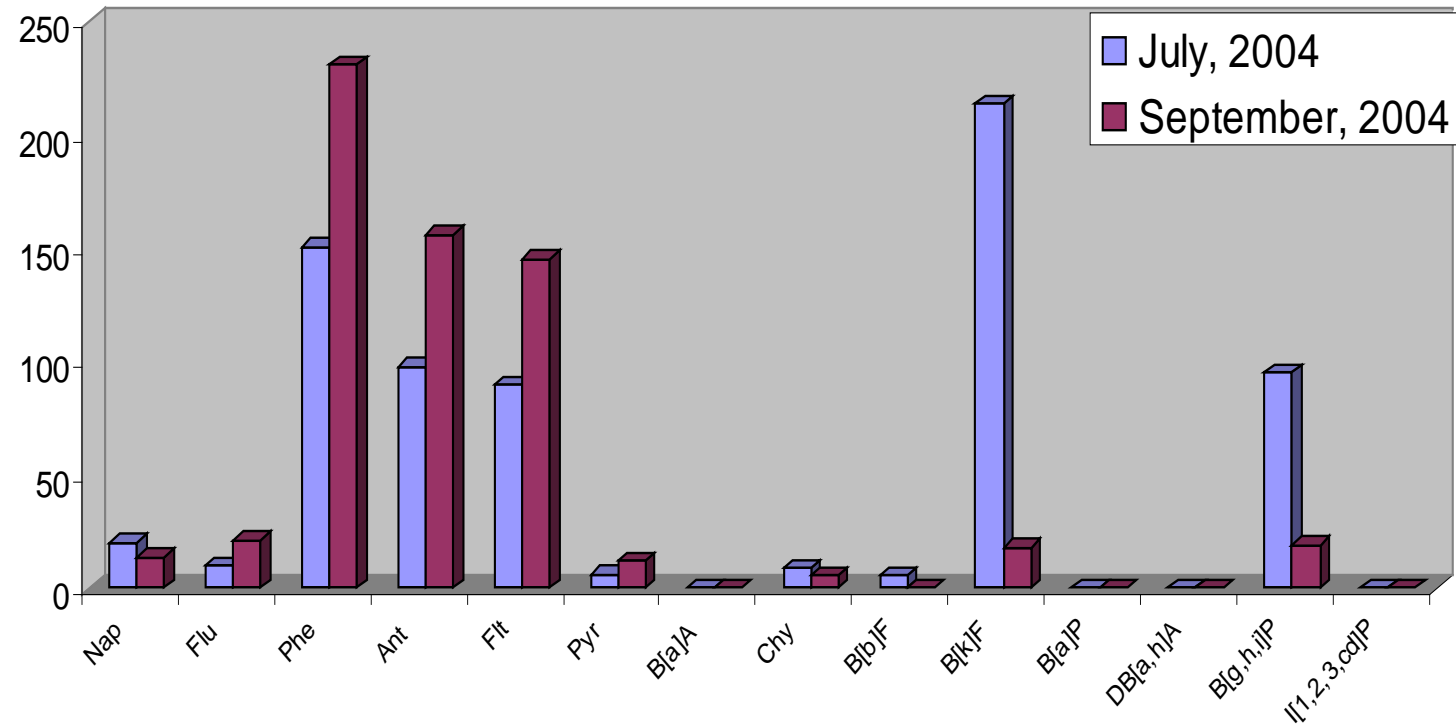


Figure 24 Seasonal variation of each PAHs in the sediment from Thai:Laos Mekong River at station 7 : **SRI SONGKHRAM RIVER**

A. Songsasen

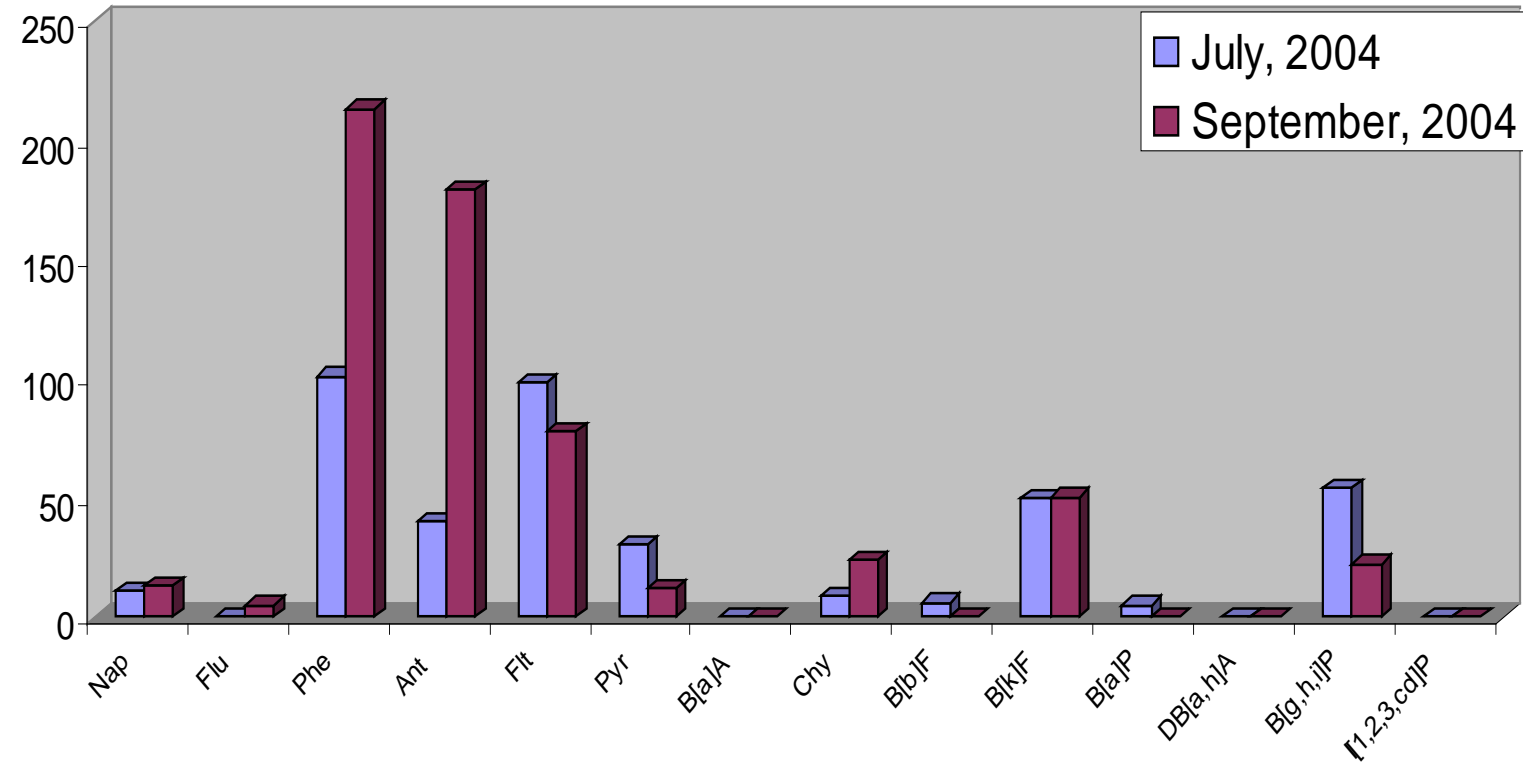


Figure 25 Seasonal variation of each PAHs in the sediment from Thai:Laos Mekong River at station 8 : AMPHOE THAT PHRA NOM

A. Songsasen

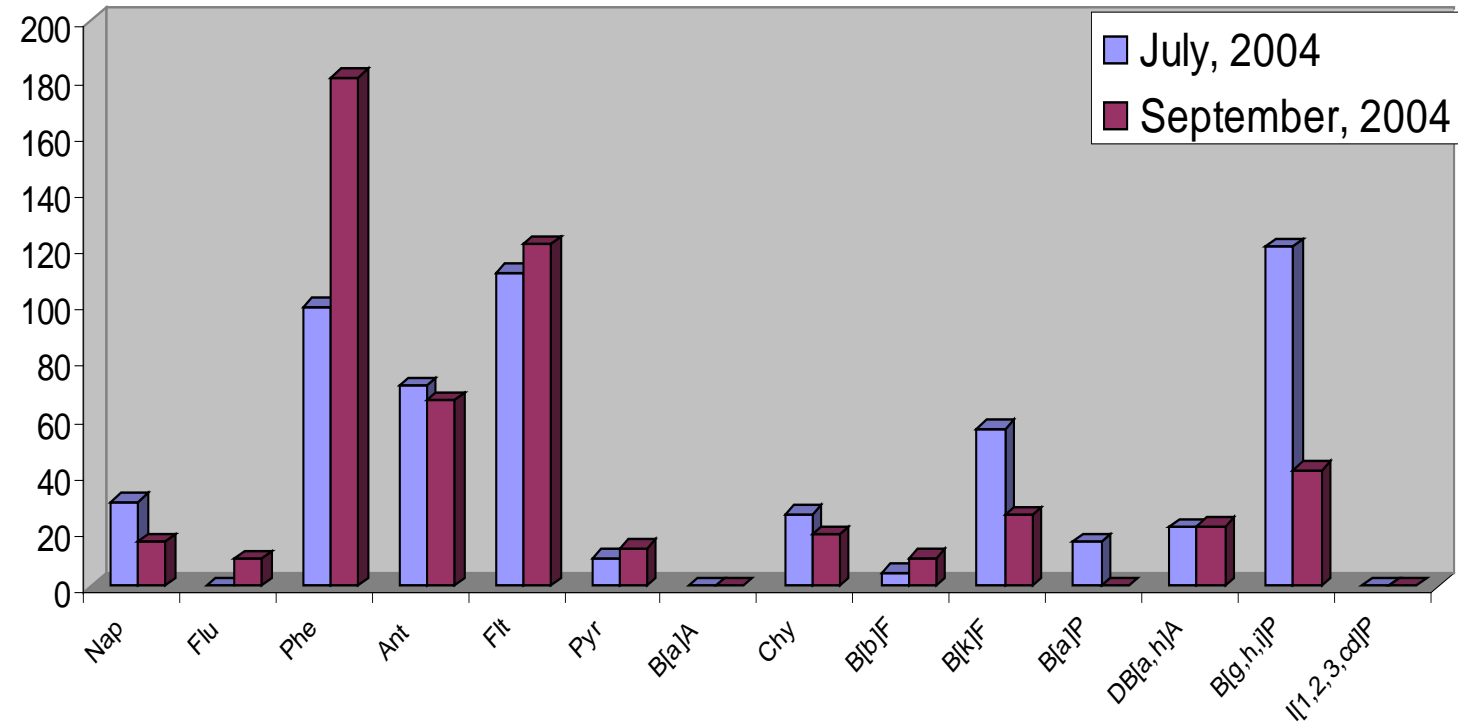


Figure 26 Seasonal variation of each PAHs in the sediment from
Thai:Laos Mekong River at station 9 : **WAT KHONG CHIAM**
BURAWAS

A. Songsasen

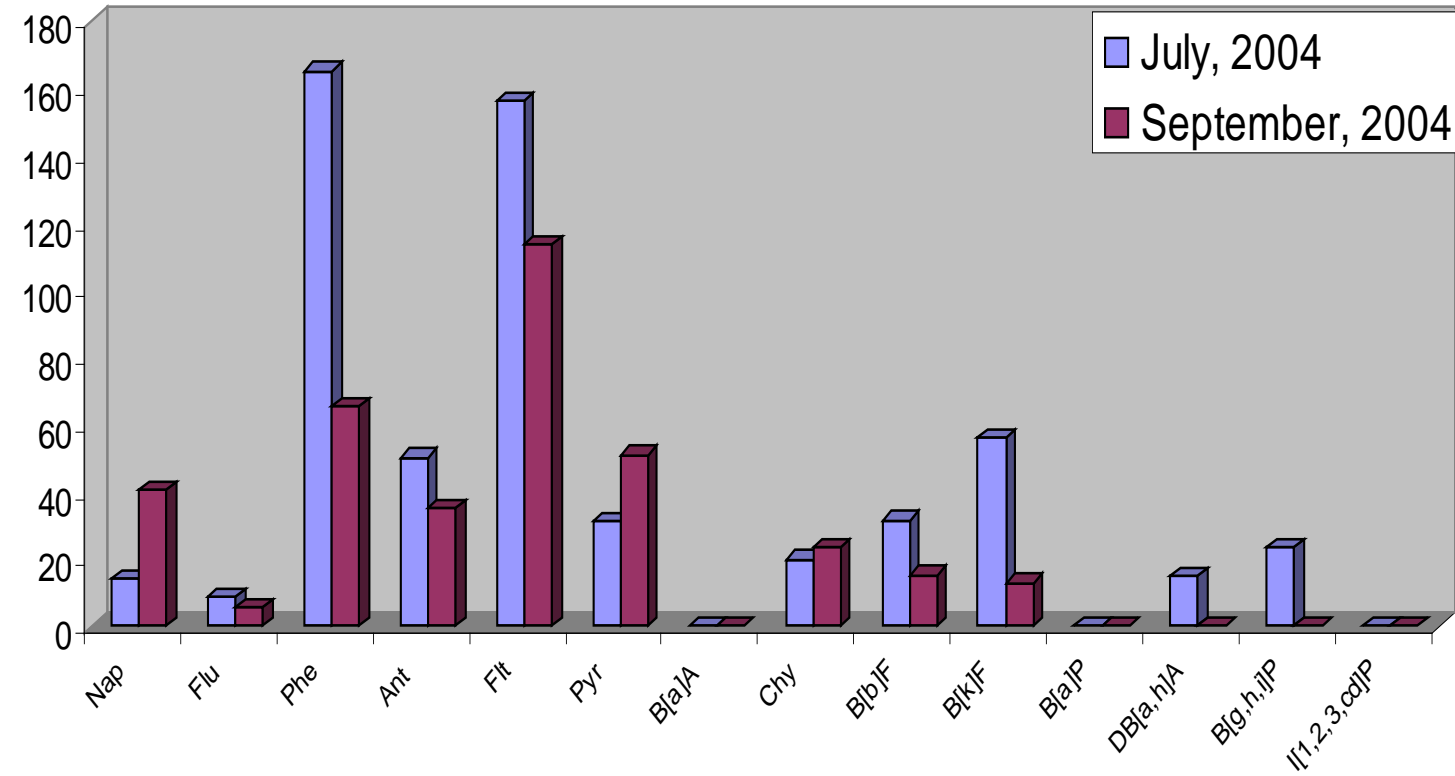


Figure 27 Seasonal variation of each PAHs in the sediment from Thai:Laos Mekong River at station 10 : AMPHOE KHONG CHIAM

A. Songsasen



- 1. the distribution of various PAHs was effected by the changing in season. In summer, the concentration of PAHs of all stations were higher than other seasons.**

- 2. The concentration of PAHs in station 3 was higher than other stations.**



3. The presences of carcinogenic PAHs (5-6) rings i.e. benzo[b]fluoranthene, benzo[k]fluoranthene, benzo[a]pyrene, dibenzo[a,h]anthracene, benzo[g,h,i]perylene and indeno[1,2,3,cd]pyrene were observed in every station. This may effect the health problem to the life along the Mekong river.

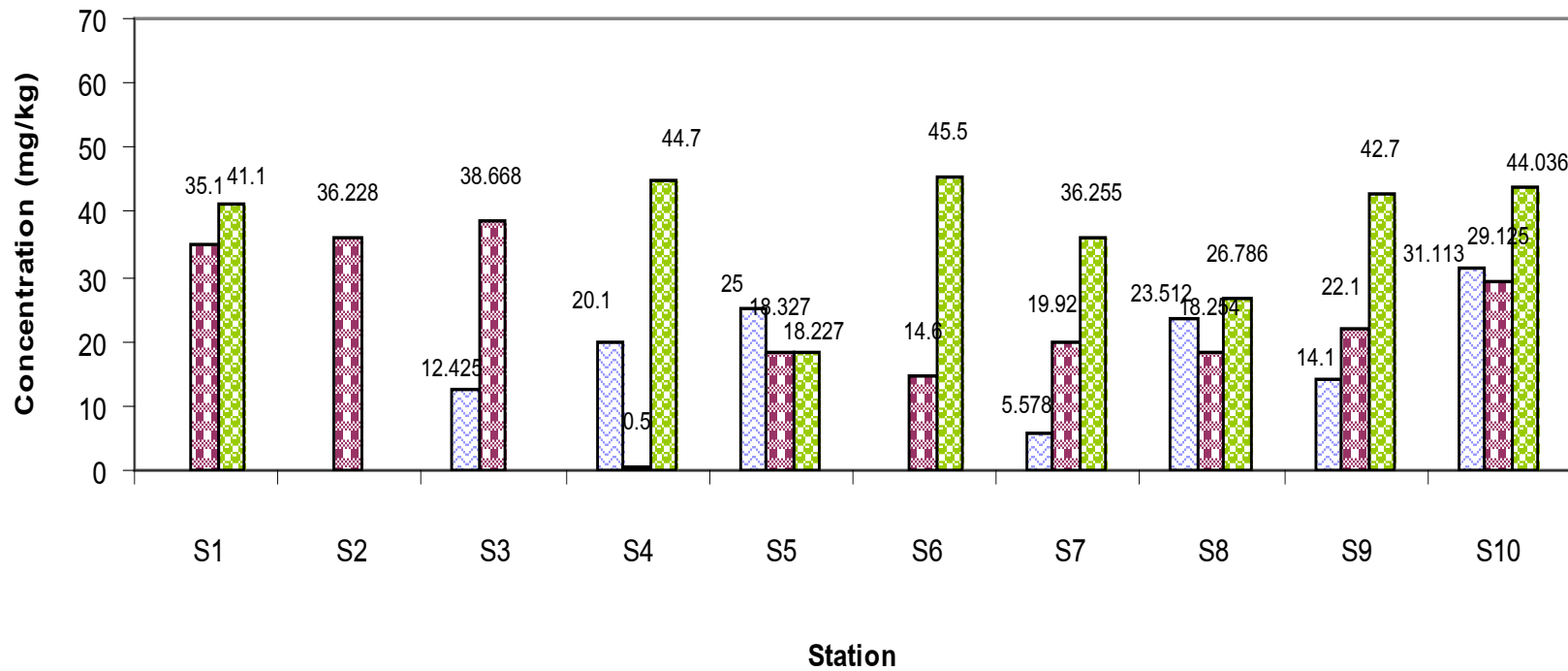


Figure 28 Concentration of Cd in sediment from the Mekong river (mg/kg) at various seasons , Winter, Summer, Rainy season

A. Songsasen

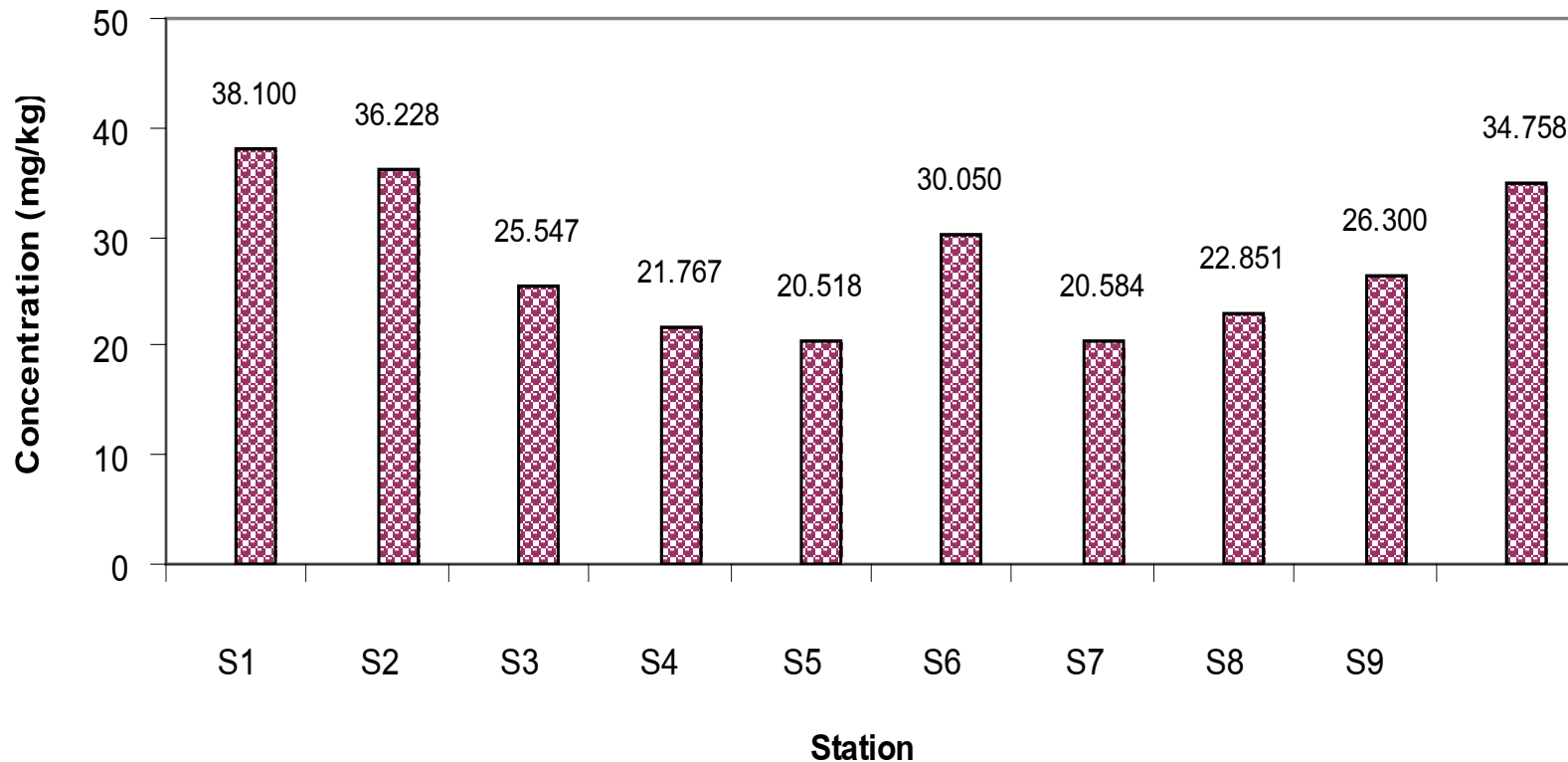


Figure 29 Concentration of Cd in sediment from the Mekong river (mg/kg) at various stations in 1 year

A. Songsasen

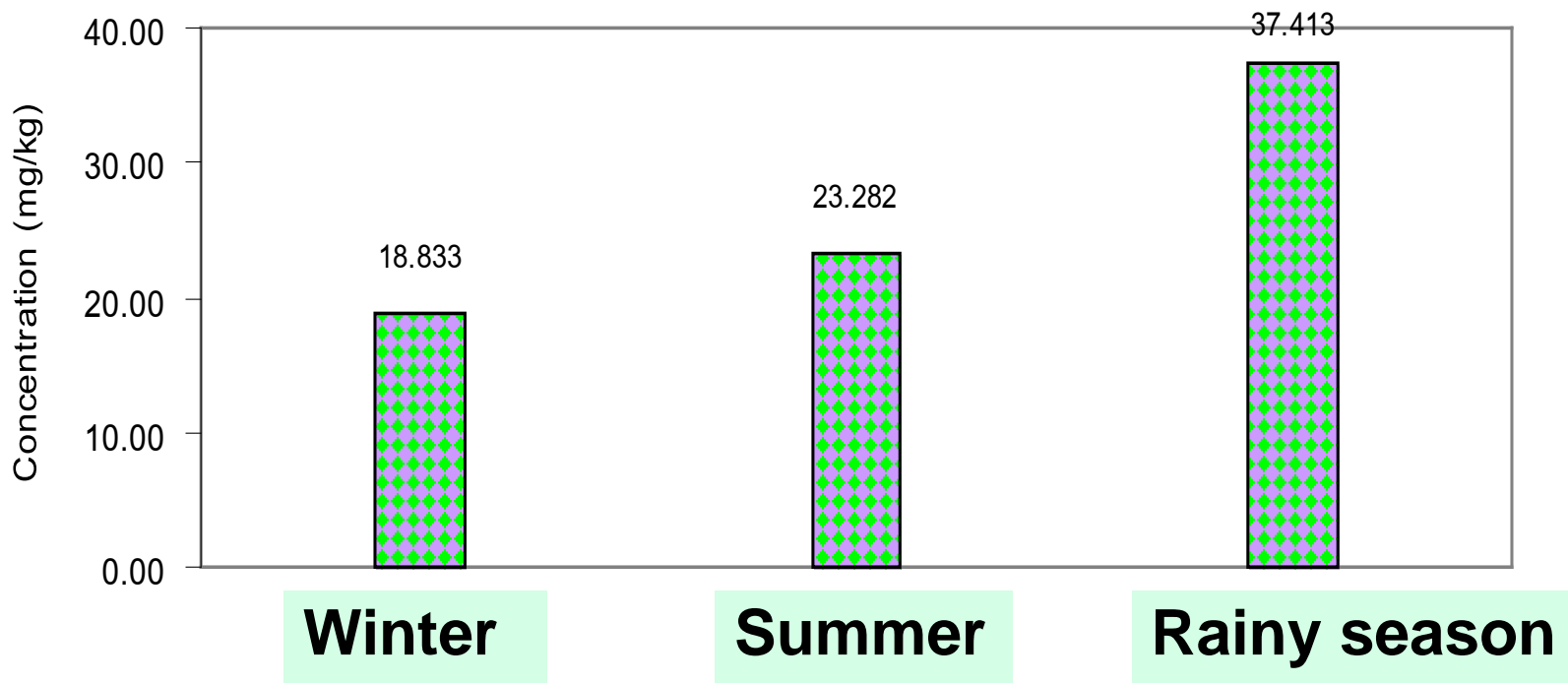


Figure 30 Seasonal variation of Cd in the Mekong River's sediment

A. Songsasen

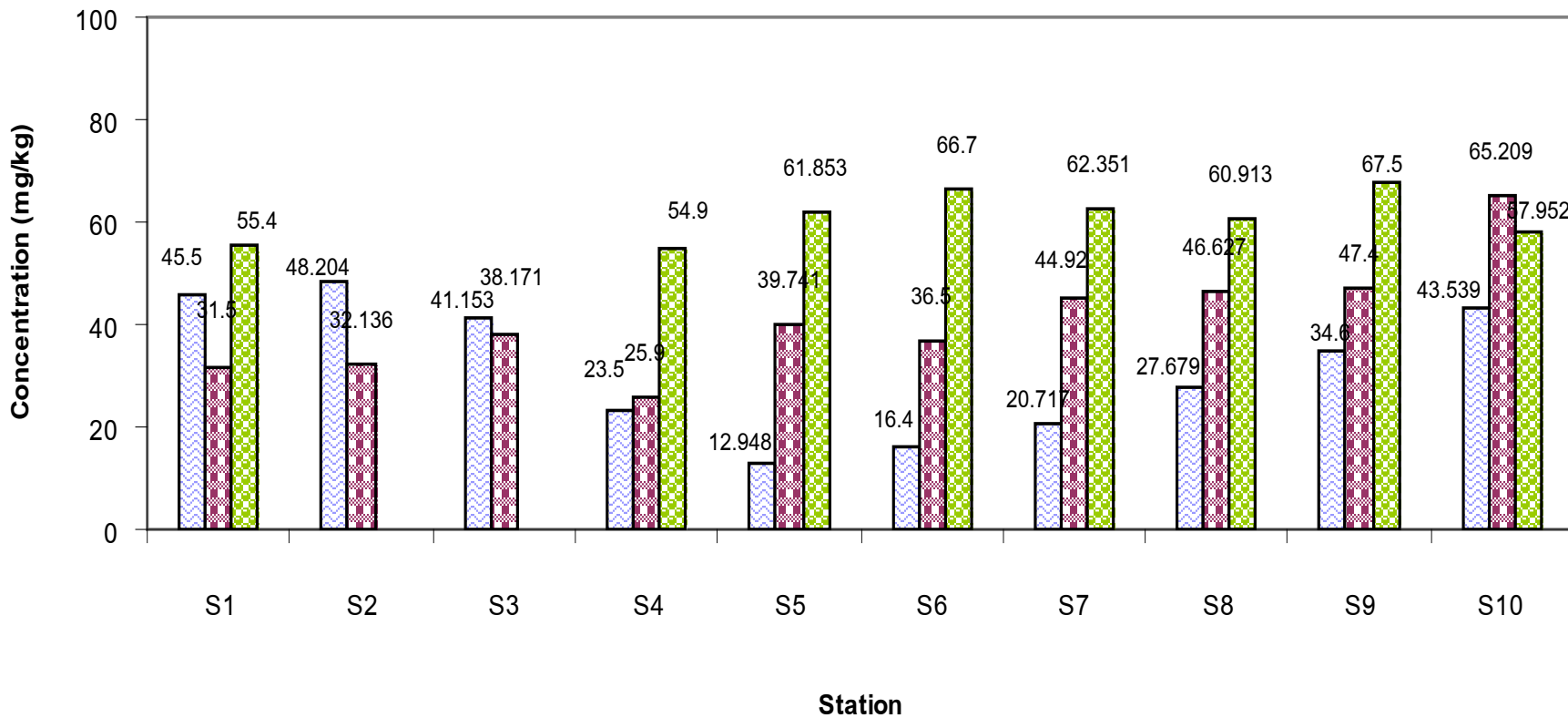


Figure 31 Concentration of Pb in sediment from the Mekong river (mg/kg) at various seasons , Winter, Summer, Rainy season

A. Songsasen

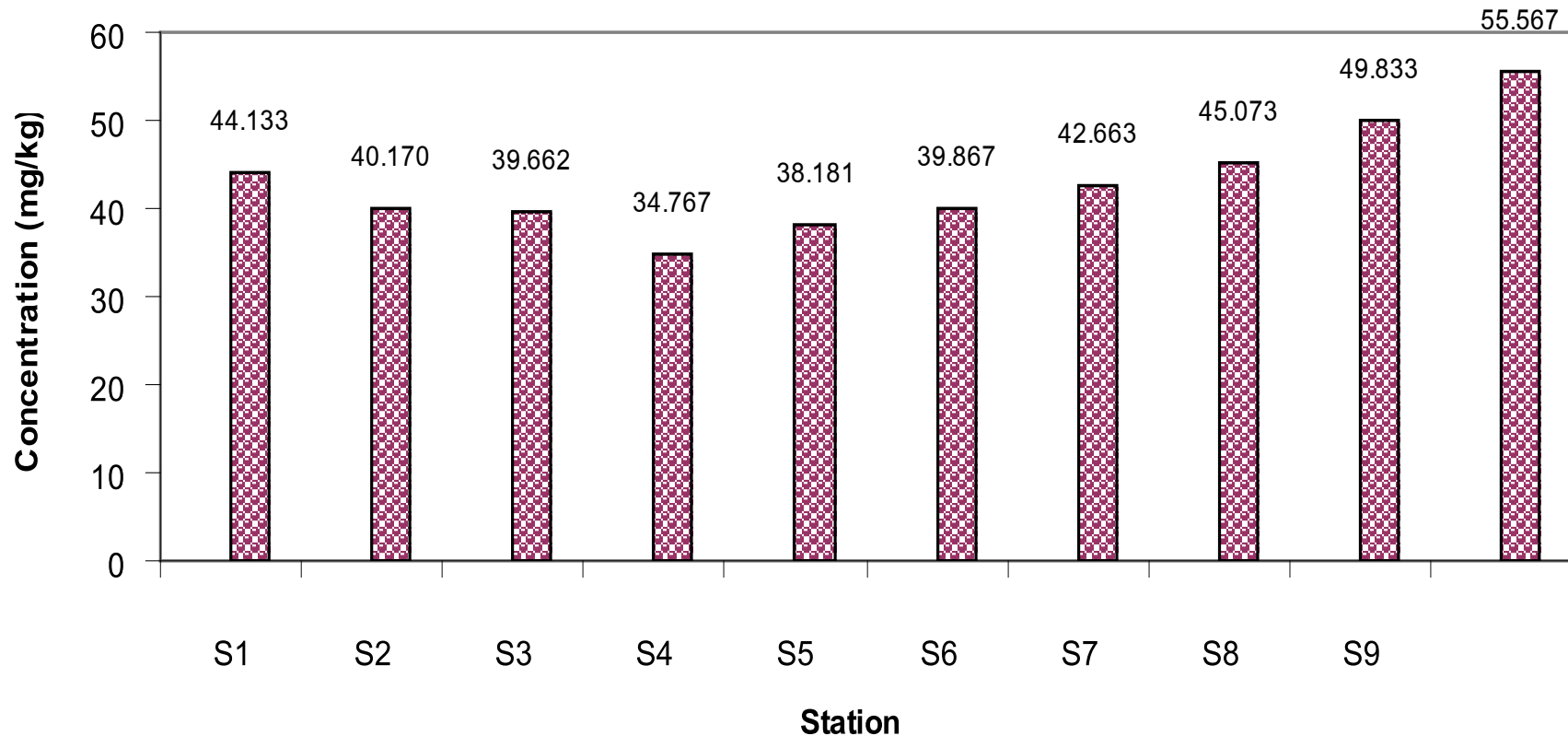


Figure 32 Concentration of Pb in sediment from the Mekong river (mg/kg) at various stations in 1 year

A. Songsasen

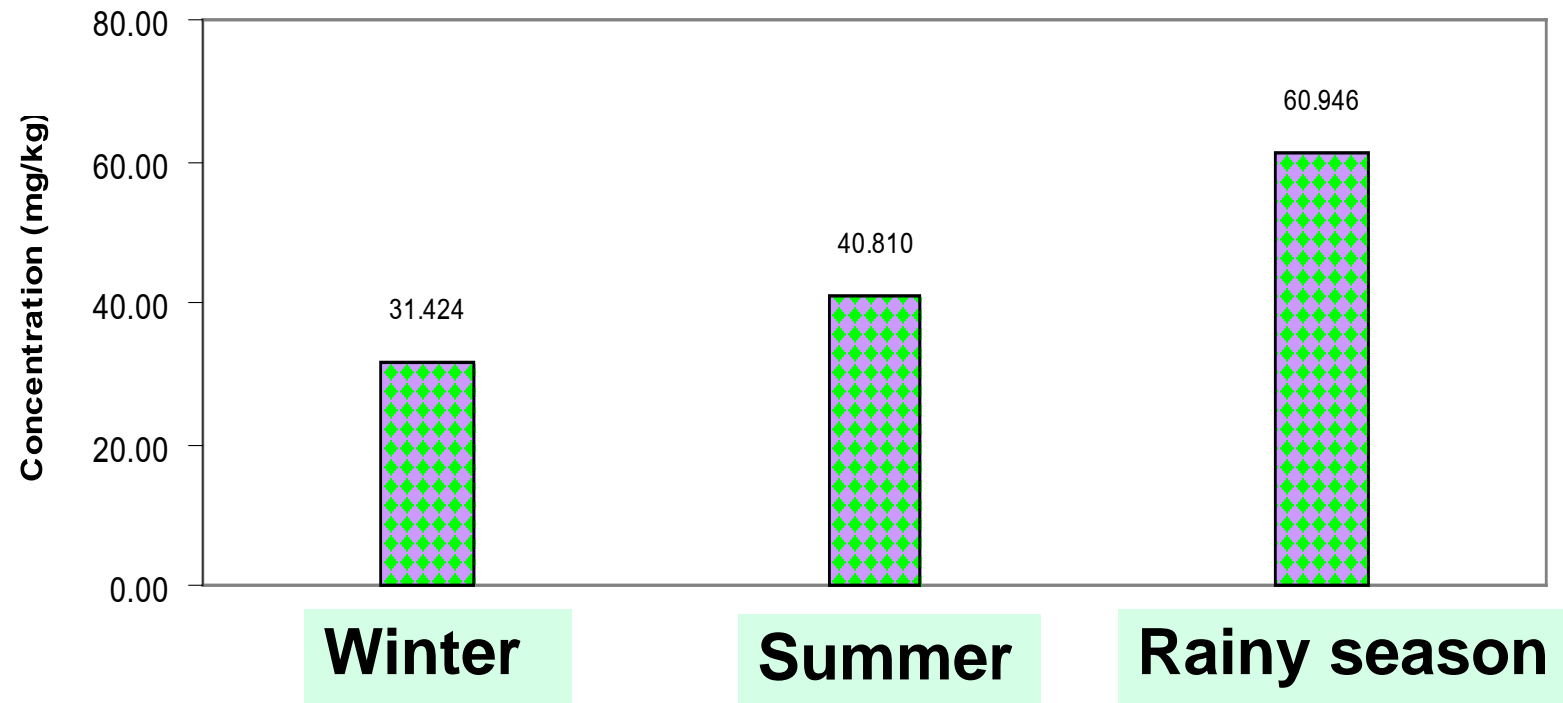


Figure 33 Seasonal variation of Pb in the Mekong River's sediment

A. Songsasen

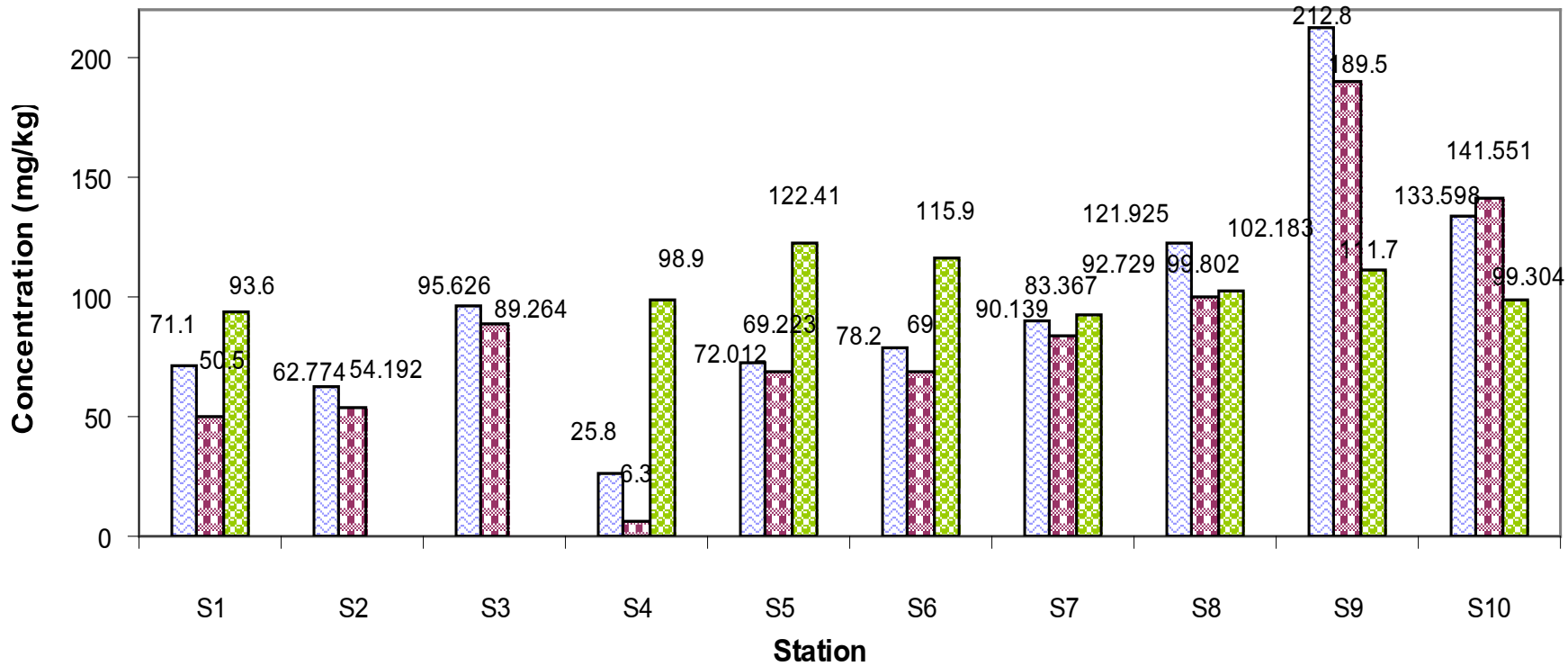


Figure 34 Concentration of Cr in sediment from the Mekong river (mg/kg) at various seasons , Winter, Summer, Rainy season

A. Songsasen

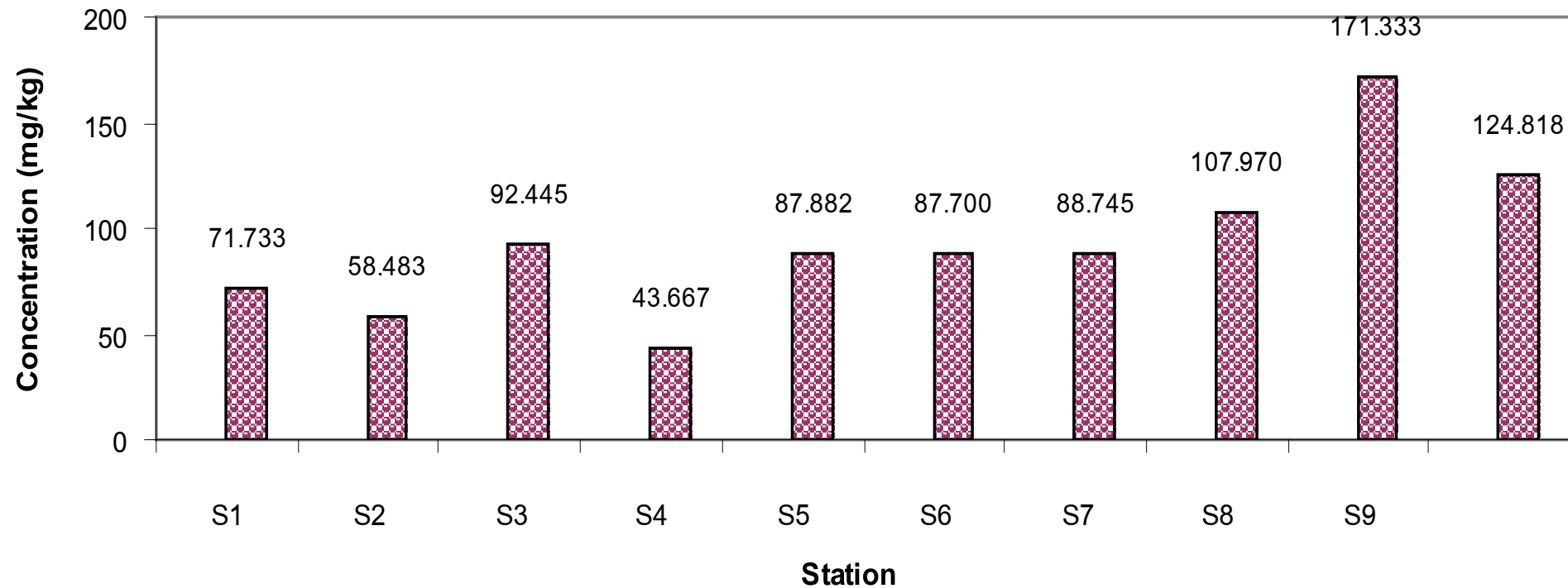


Figure 35 Concentration of Cr in sediment from the Mekong river (mg/kg) at various stations in 1 year

A. Songsasen

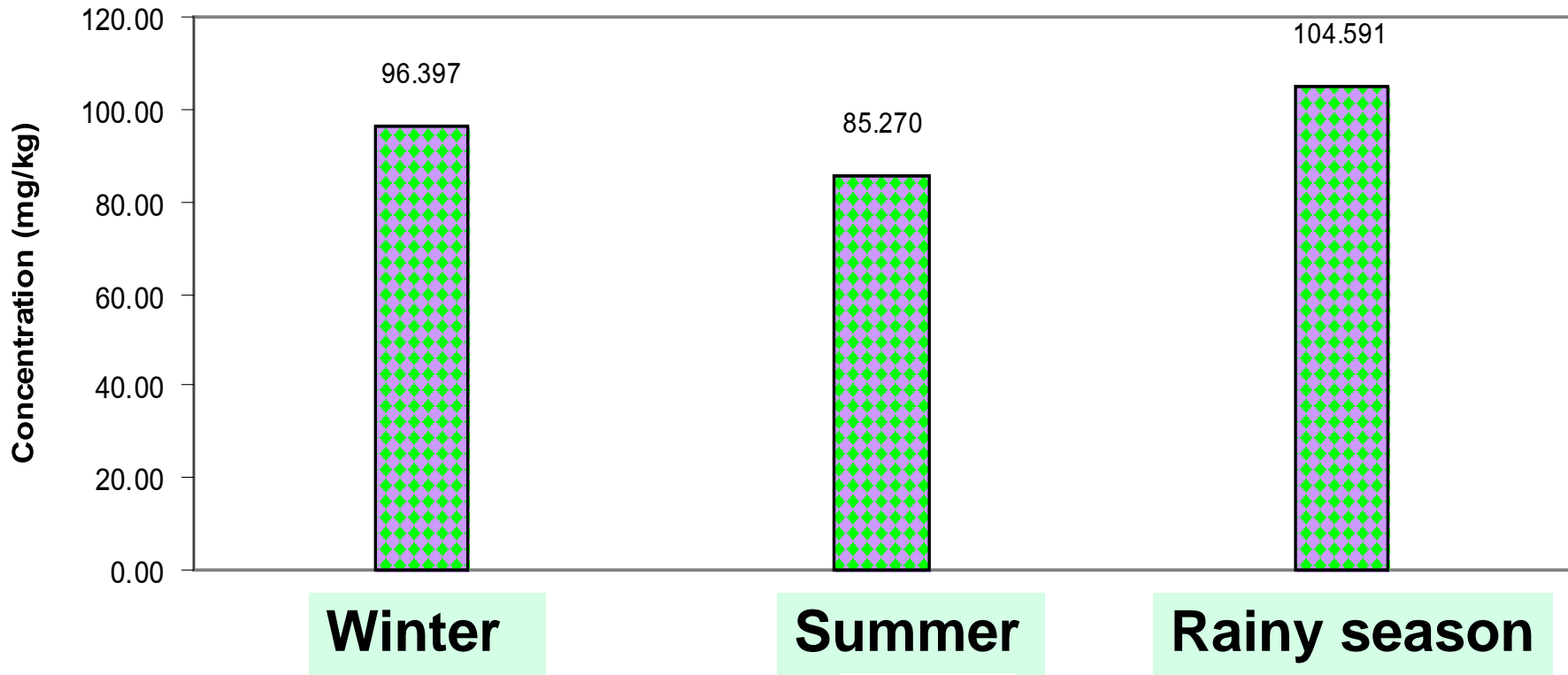


Figure 36 Seasonal variation of Cr in the Mekong River 's sediment

A. Songsasen

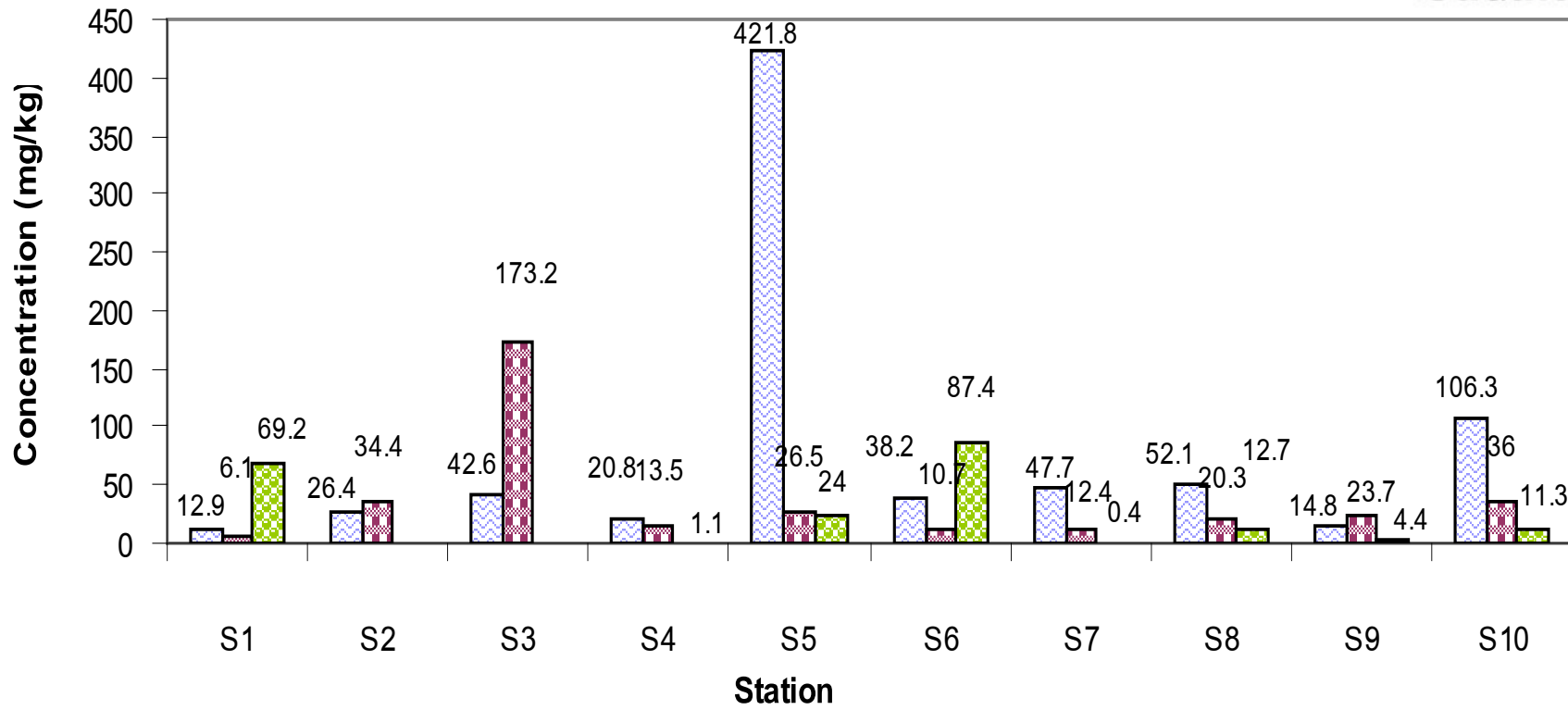


Figure 37 Concentration of Hg in sediment from the Mekong river (mg/kg) at various seasons , Winter, Summer, Rainy season

A. Songsasen

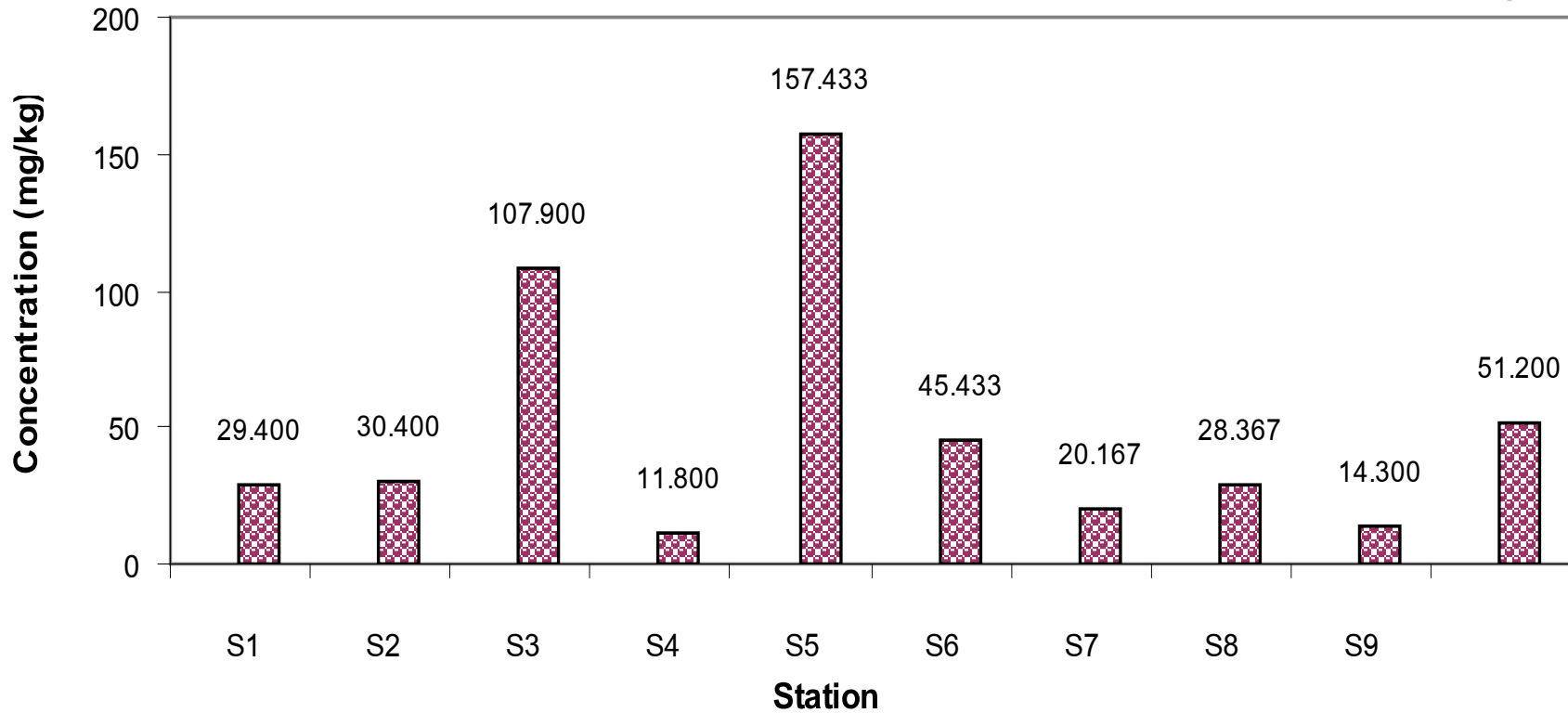


Figure 38 Concentration of Hg in sediment from the Mekong river (mg/kg) at various stations in 1 year

A. Songsasen

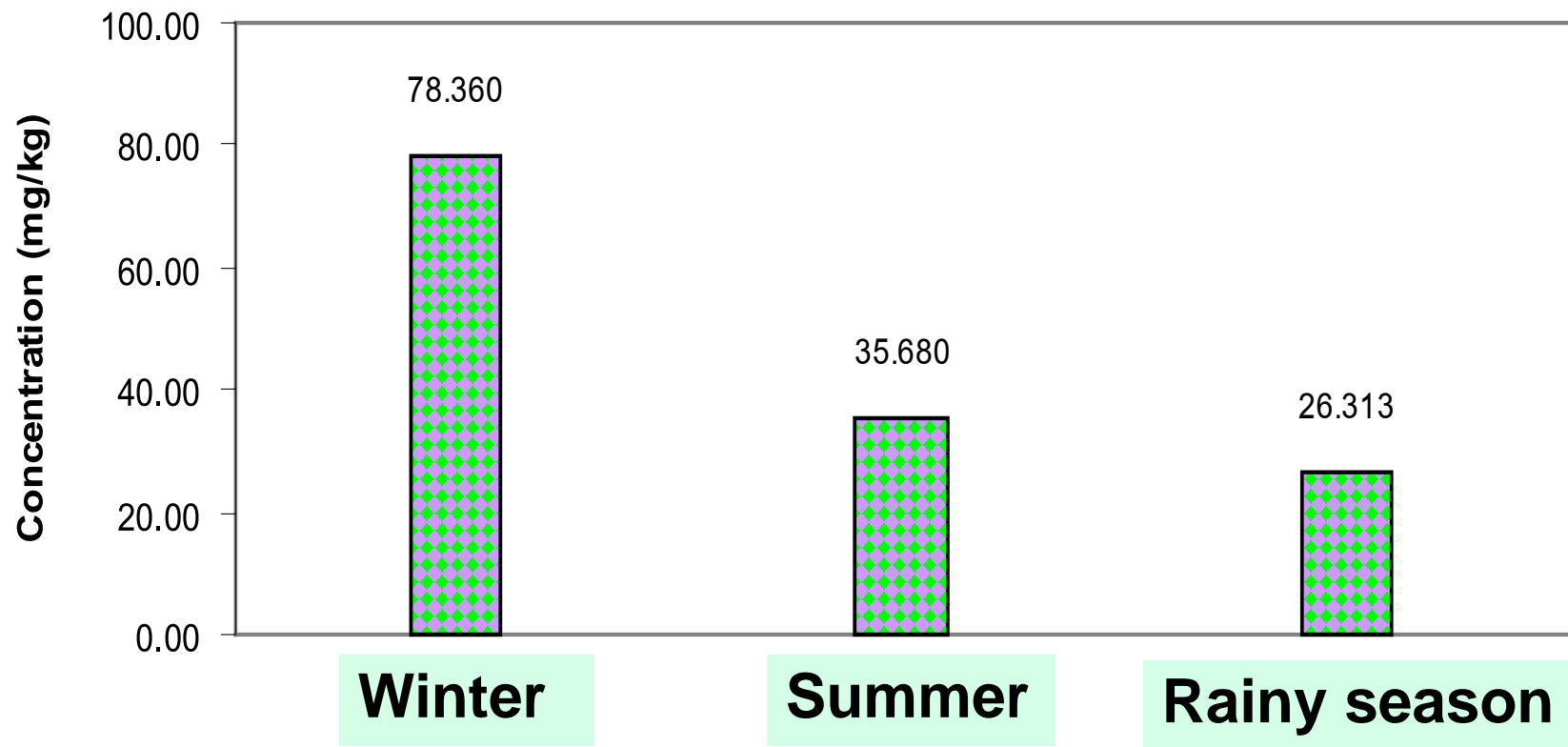


Figure 39 Seasonal variation of Hg in the Mekong River's sediment

A. Songsasen

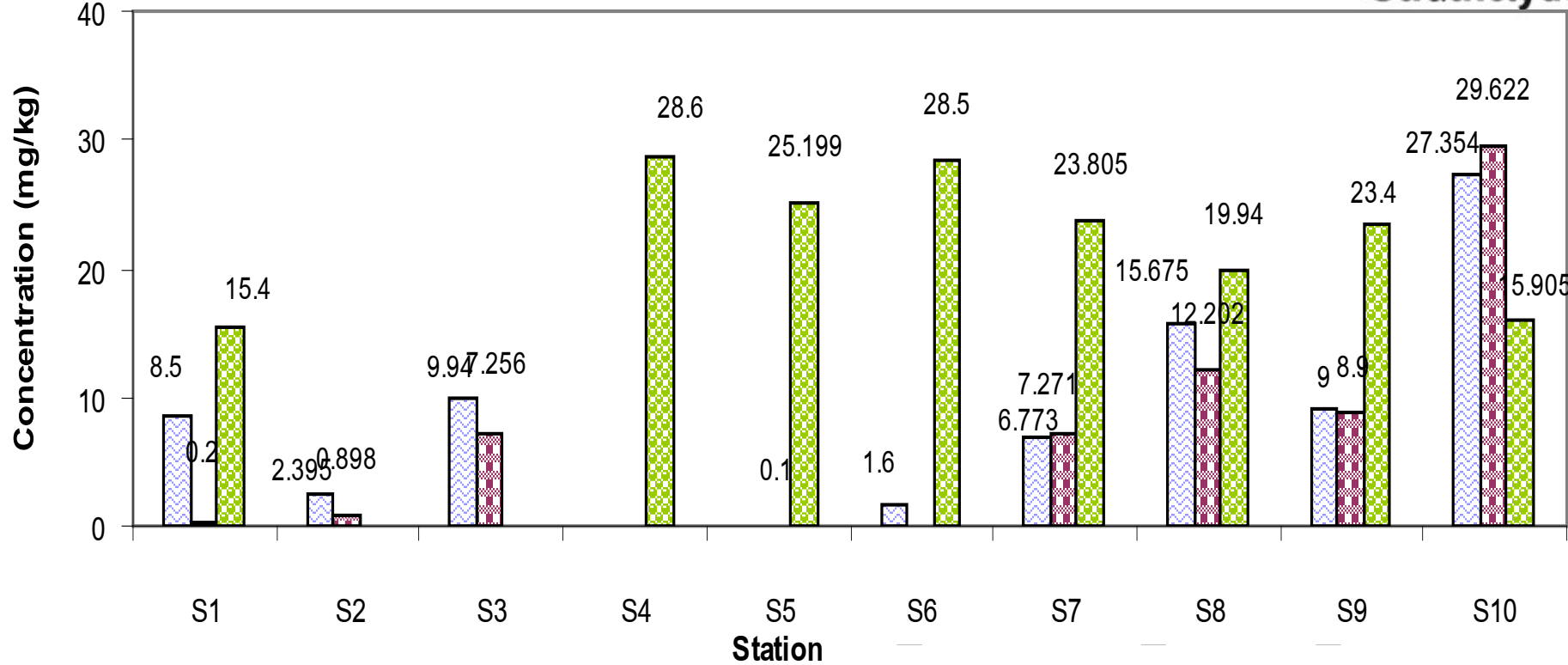


Figure 40 Concentration of Cu in sediment from the Mekong river (mg/kg) at various seasons , Winter, Summer, Rainy season

A. Songsasen

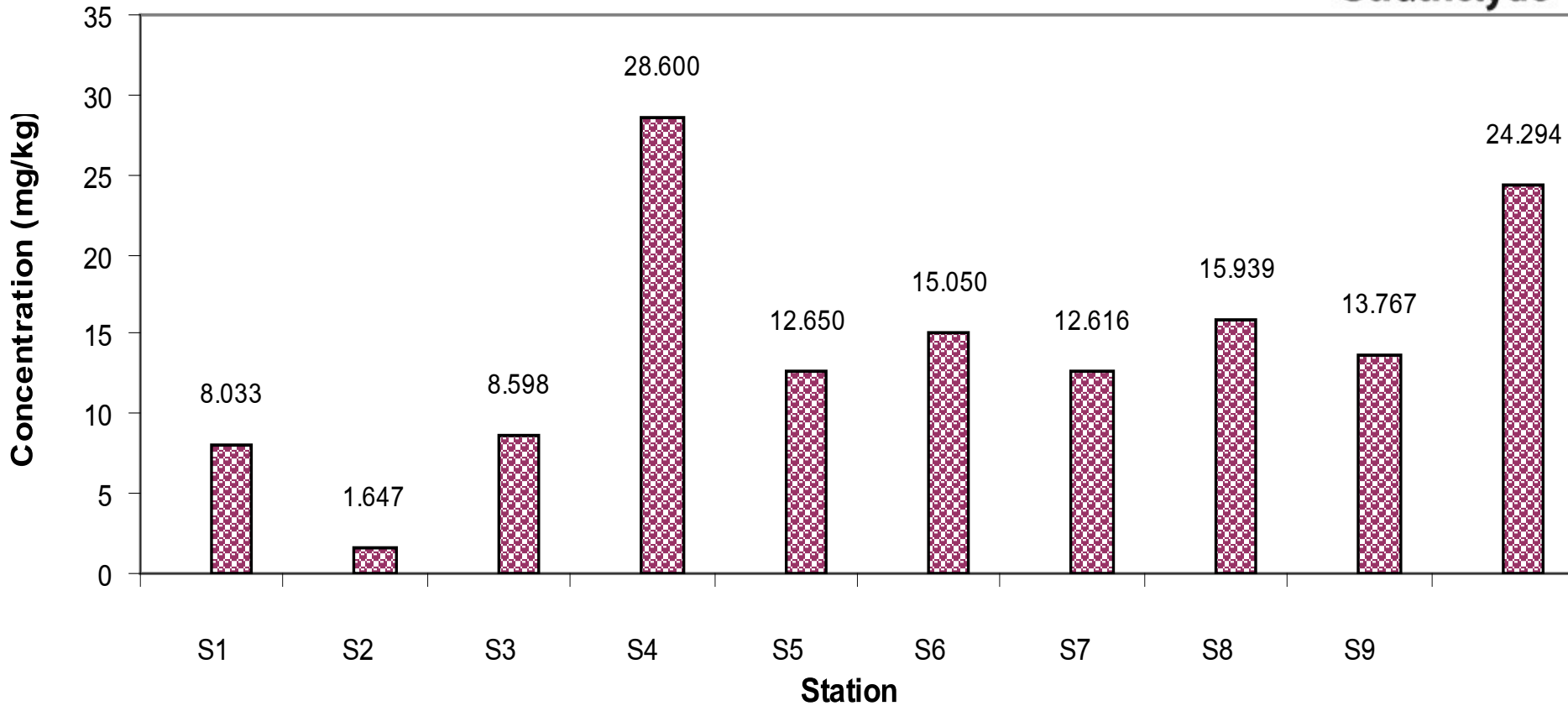


Figure 41 Concentration of Cu in sediment from the Mekong river (mg/kg) at various stations in 1 year

A. Songsasen

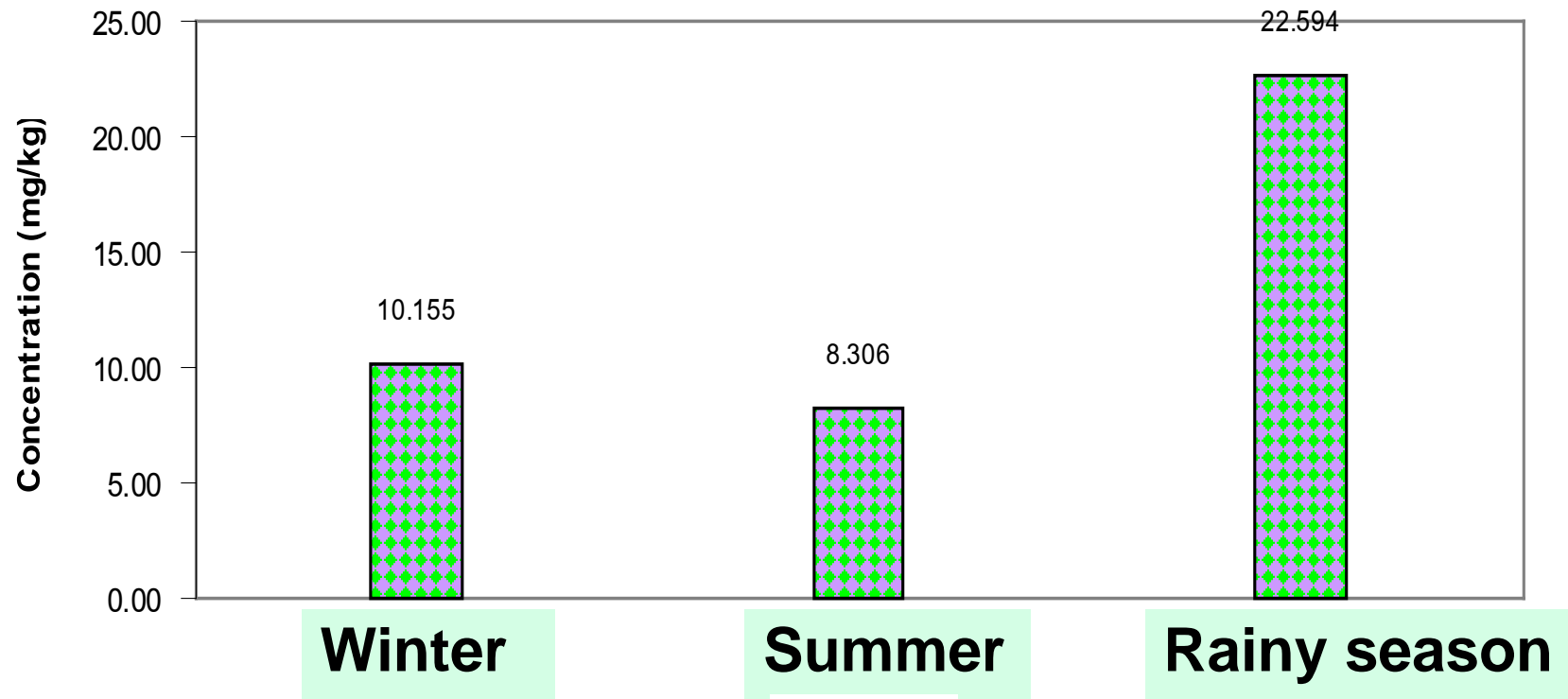


Figure 42 Seasonal variation of Cu in the Mekong River's sediment

A. Songsasen

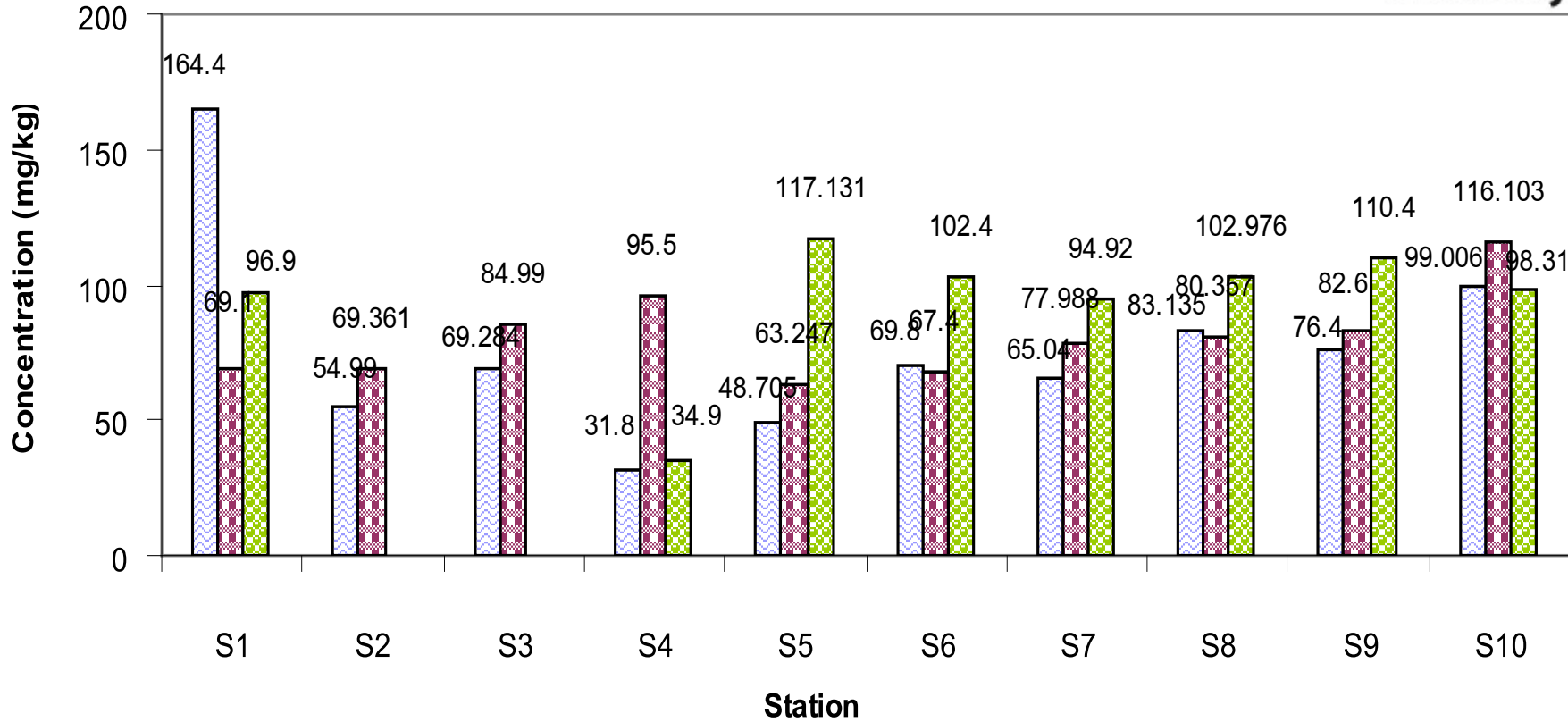


Figure 43 Concentration of Zn in sediment from the Mekong river (mg/kg) at various seasons , Winter, Summer, Rainy season

A. Songsasen

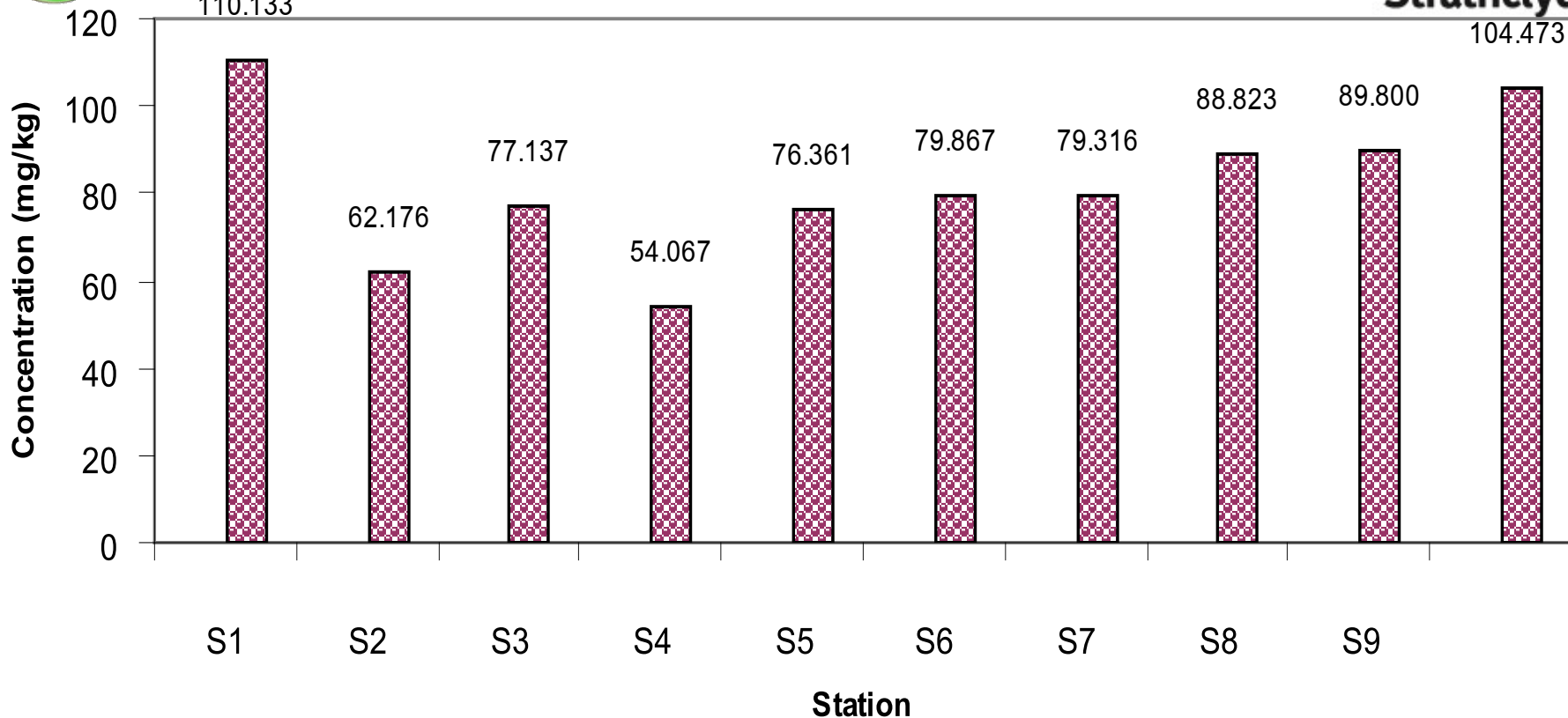


Figure 44 Concentration of Zn in sediment from the Mekong river (mg/kg) at various stations in 1 year

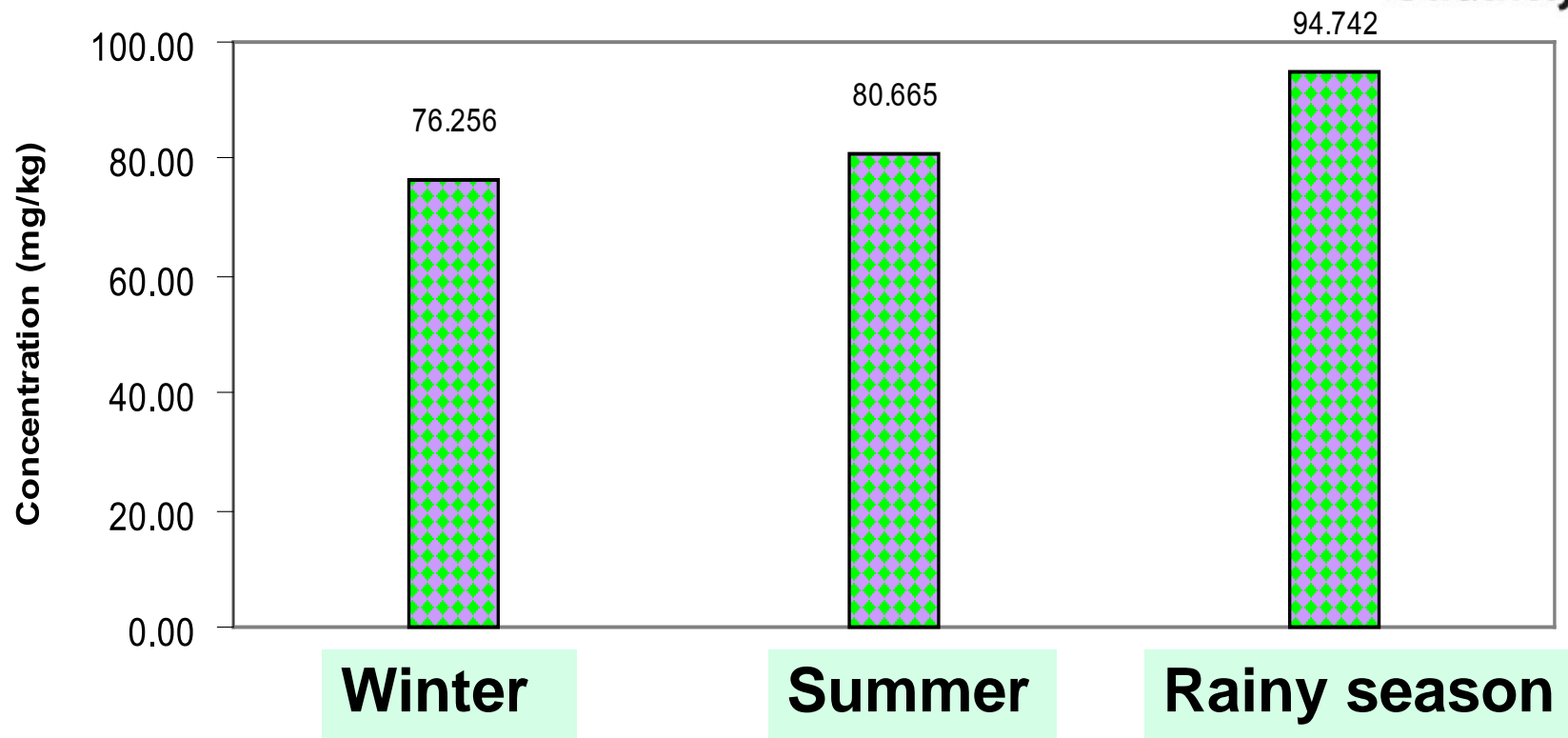


Figure 45 Seasonal variation of Zn in the Mekong River's sediment

A. Songsasen

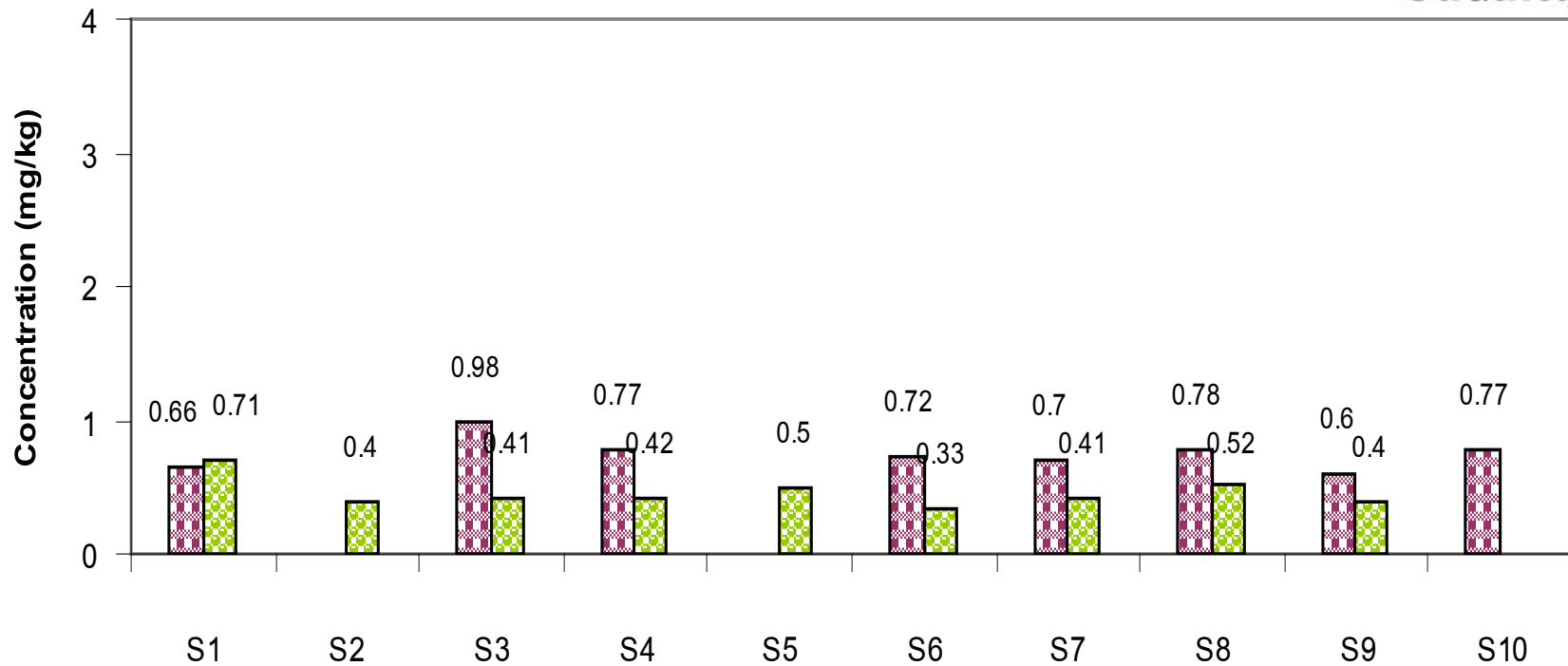


Figure 46 Concentration of Hg in water from the Mekong river (mg/kg) in Summer and Rainy season

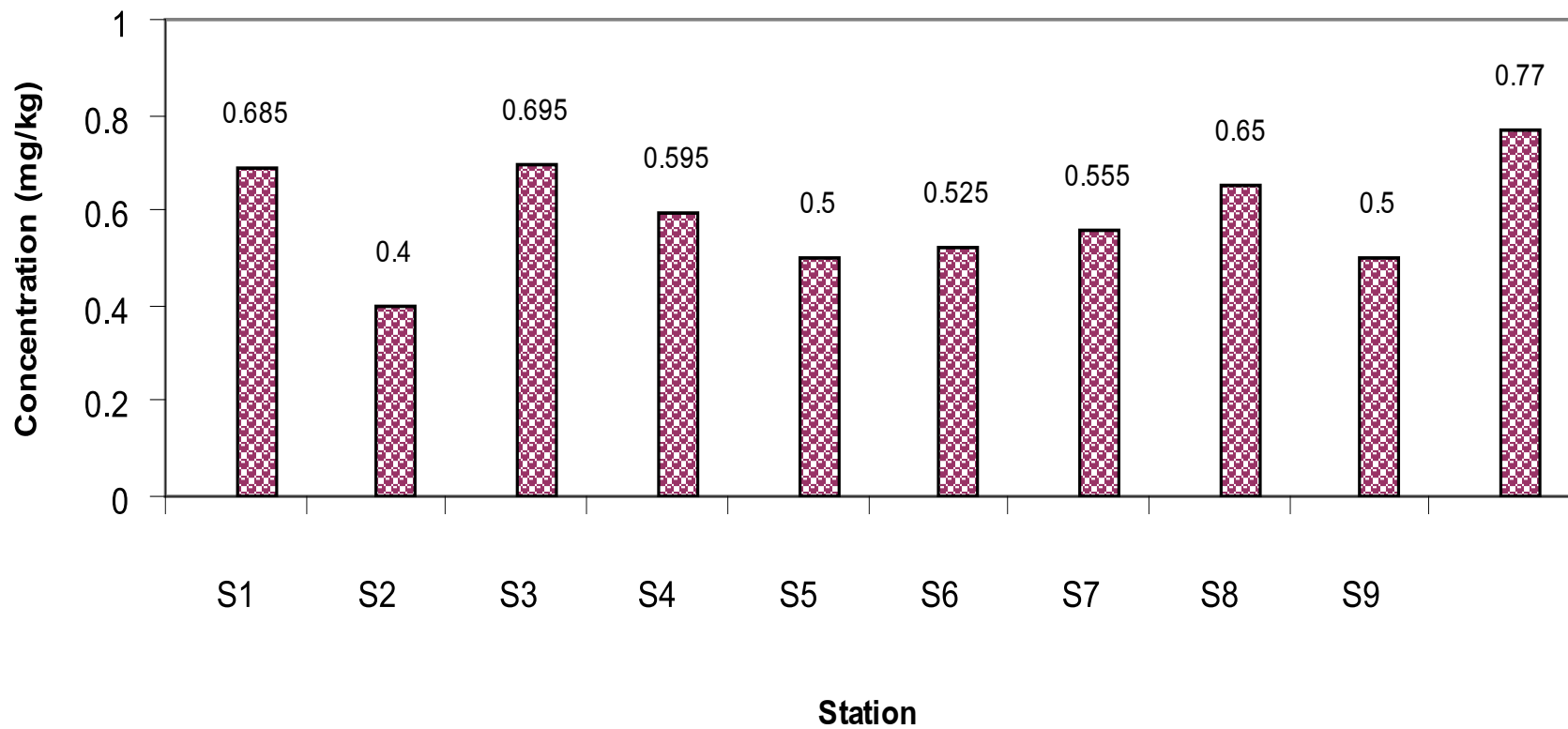


Figure 47 Concentration of Hg in water from the Mekong river (mg/kg) at various stations

A. Songsasen

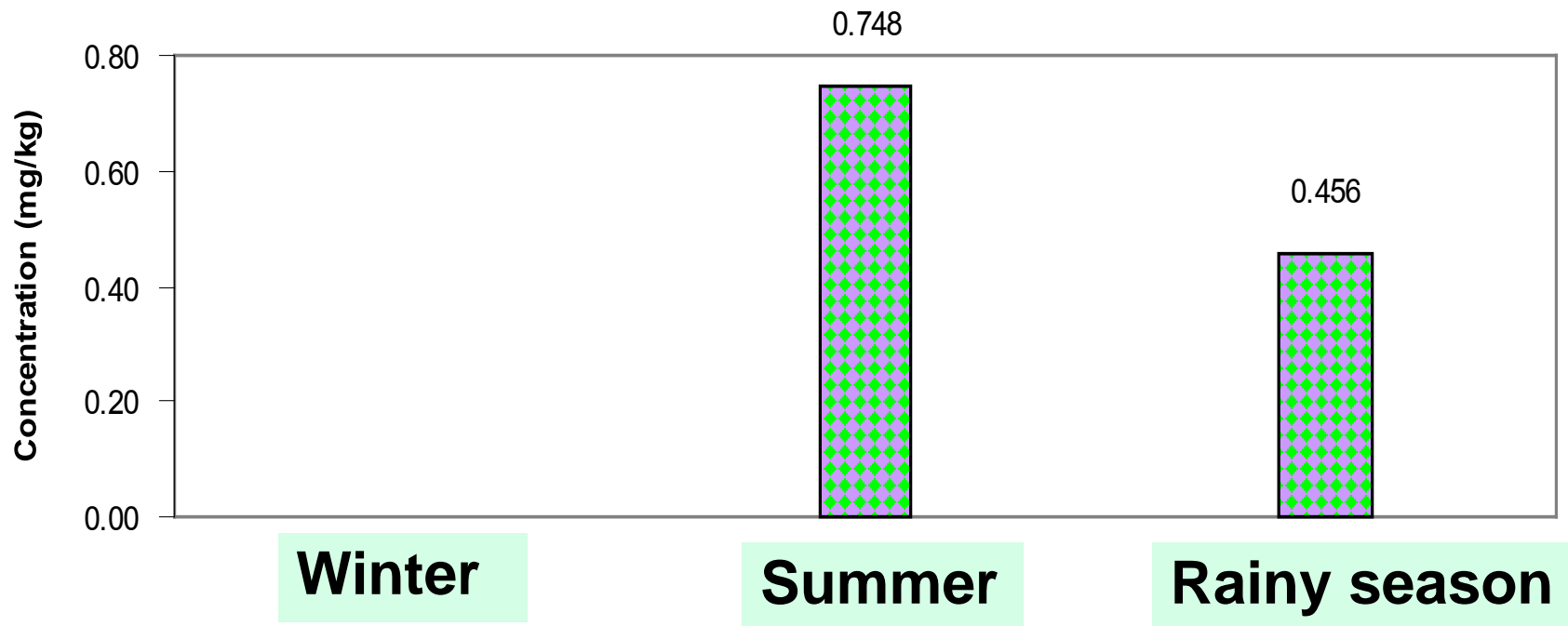


Figure 48 Seasonal variation of Hg in water from the Mekong River

A. Songsasen

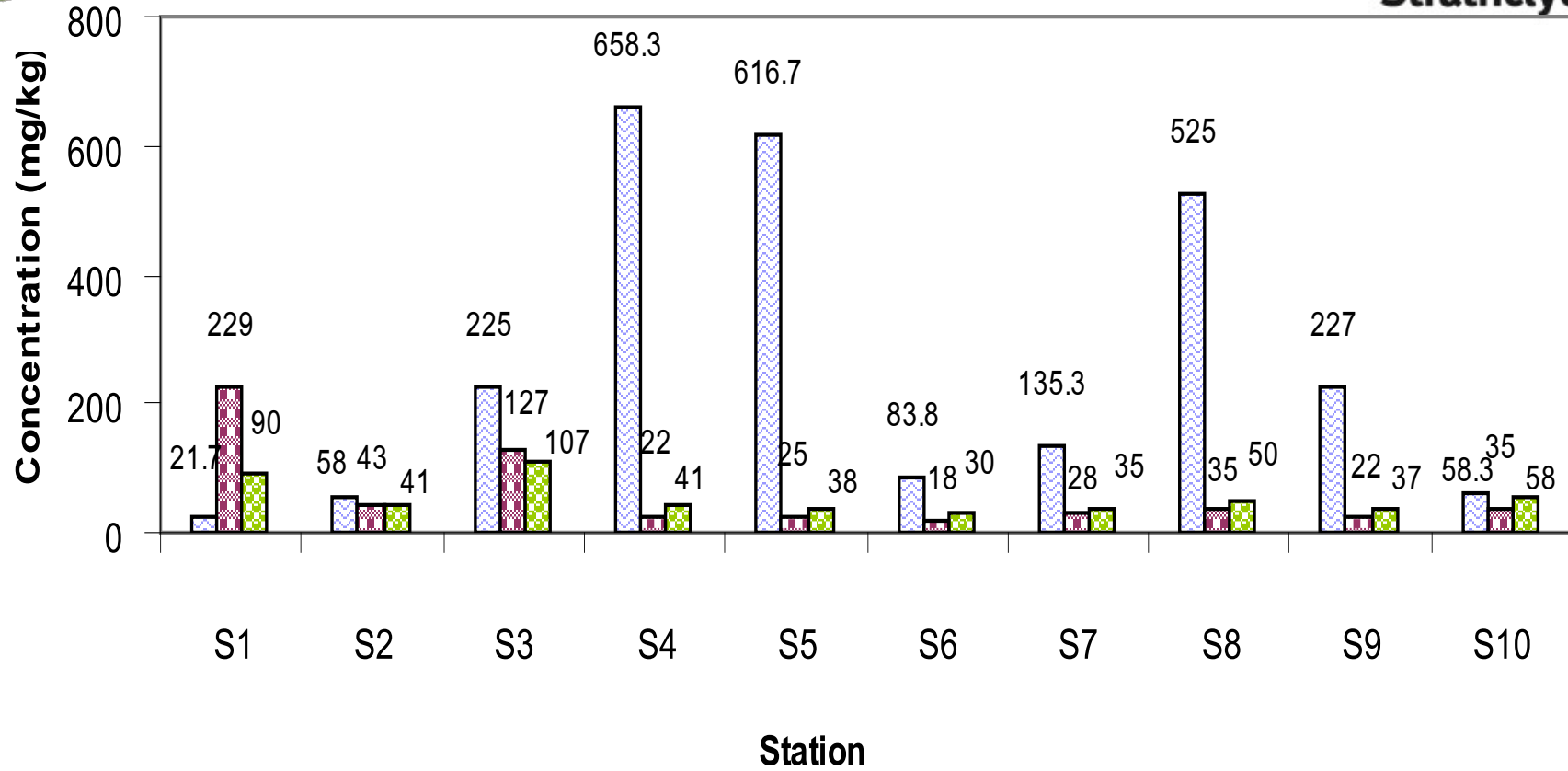


Figure 49 Concentration of Zn in water from the Mekong river (mg/kg) at various seasons , Winter, Summer, Rainy season

A. Songsasen

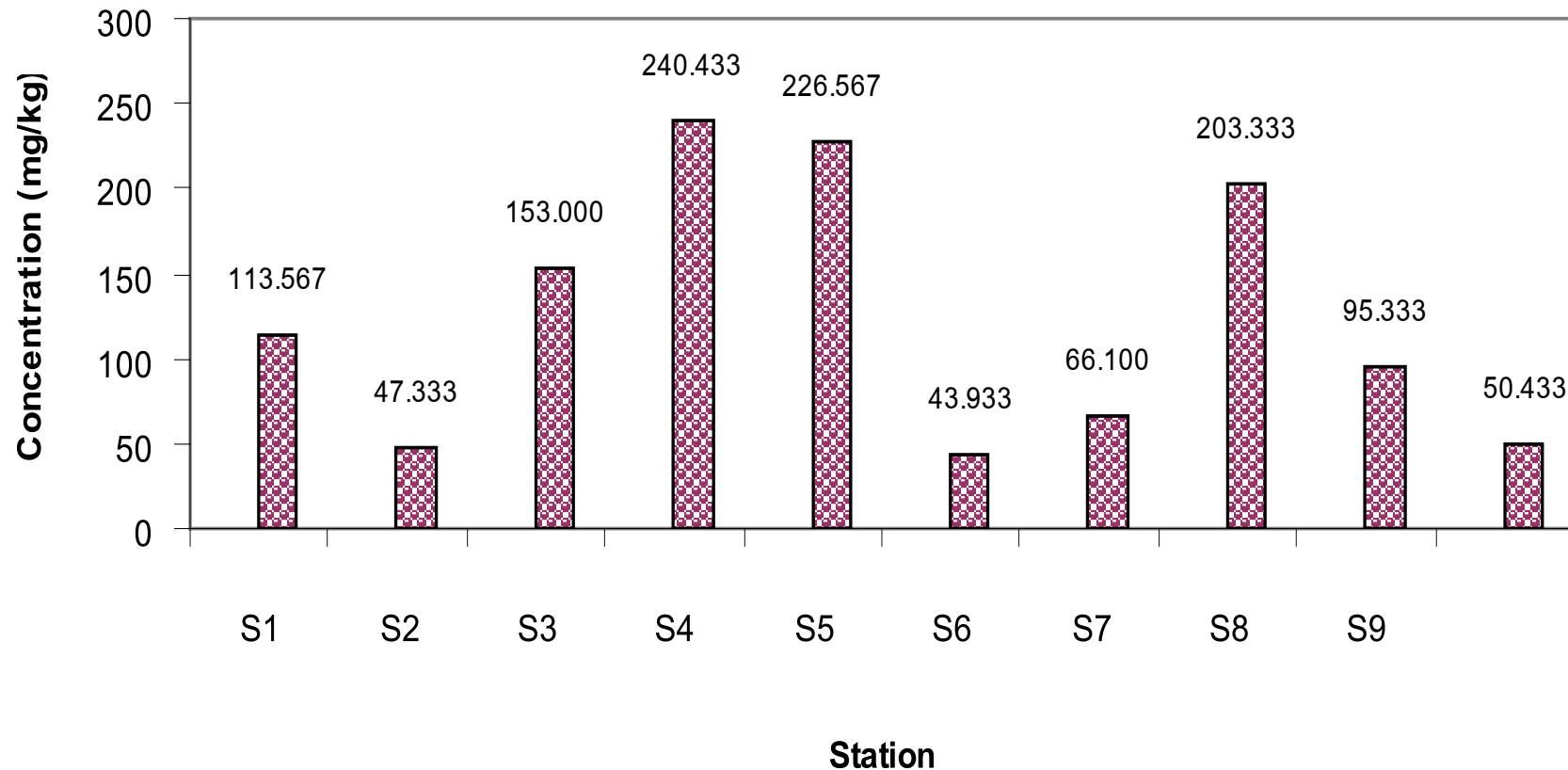


Figure 50 Concentration of Zn in water from the Mekong river (mg/kg) at various stations

A. Songsasen

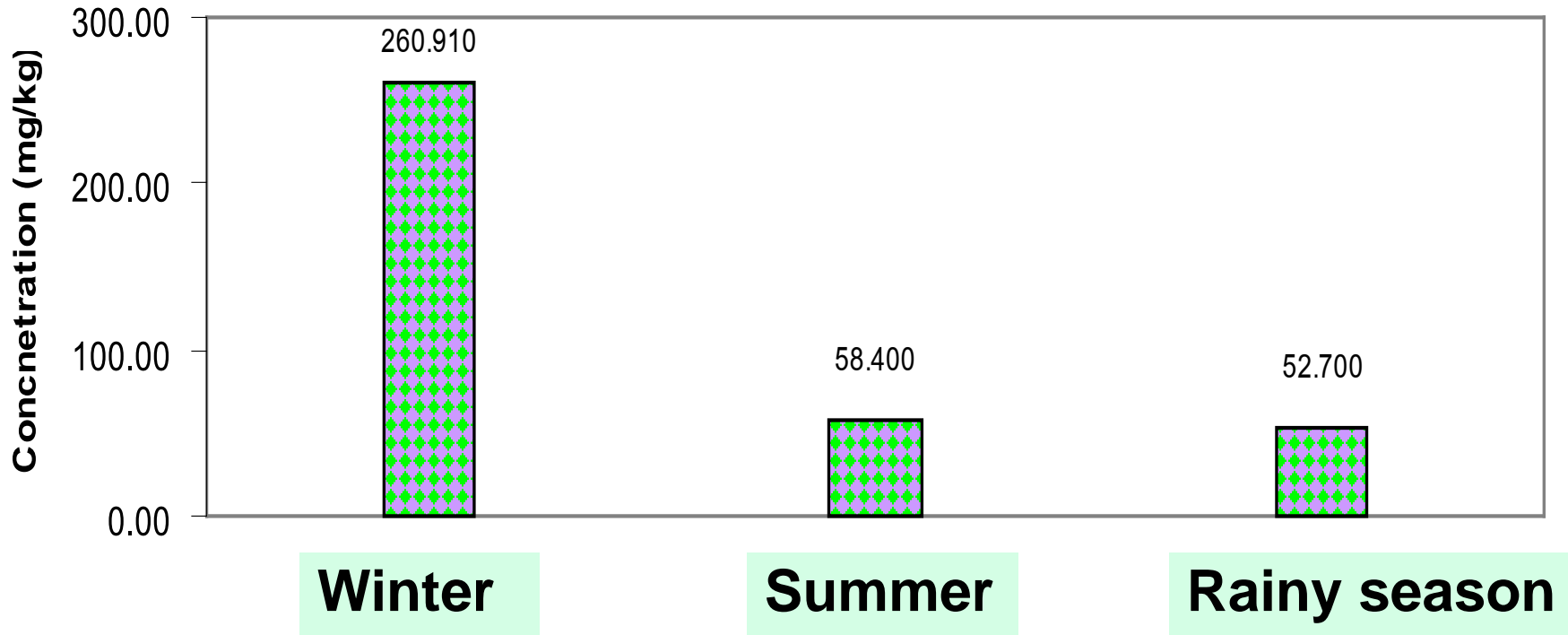


Figure 51 Seasonal variation of Zn in water from the Mekong River

A. Songsasen

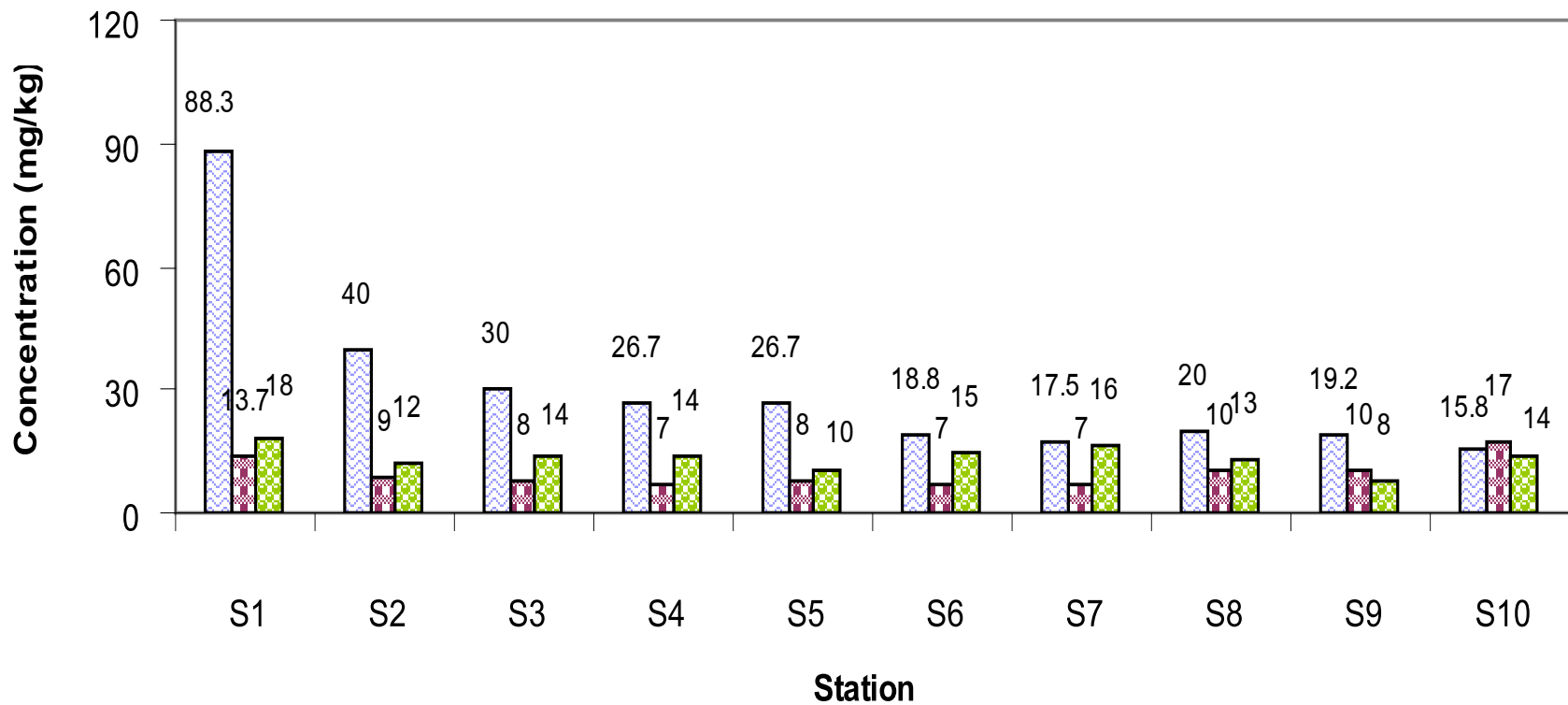


Figure 52 Concentration of Cu in water from the Mekong river (mg/kg) at various seasons , Winter, Summer, Rainy season

A. Songsasen

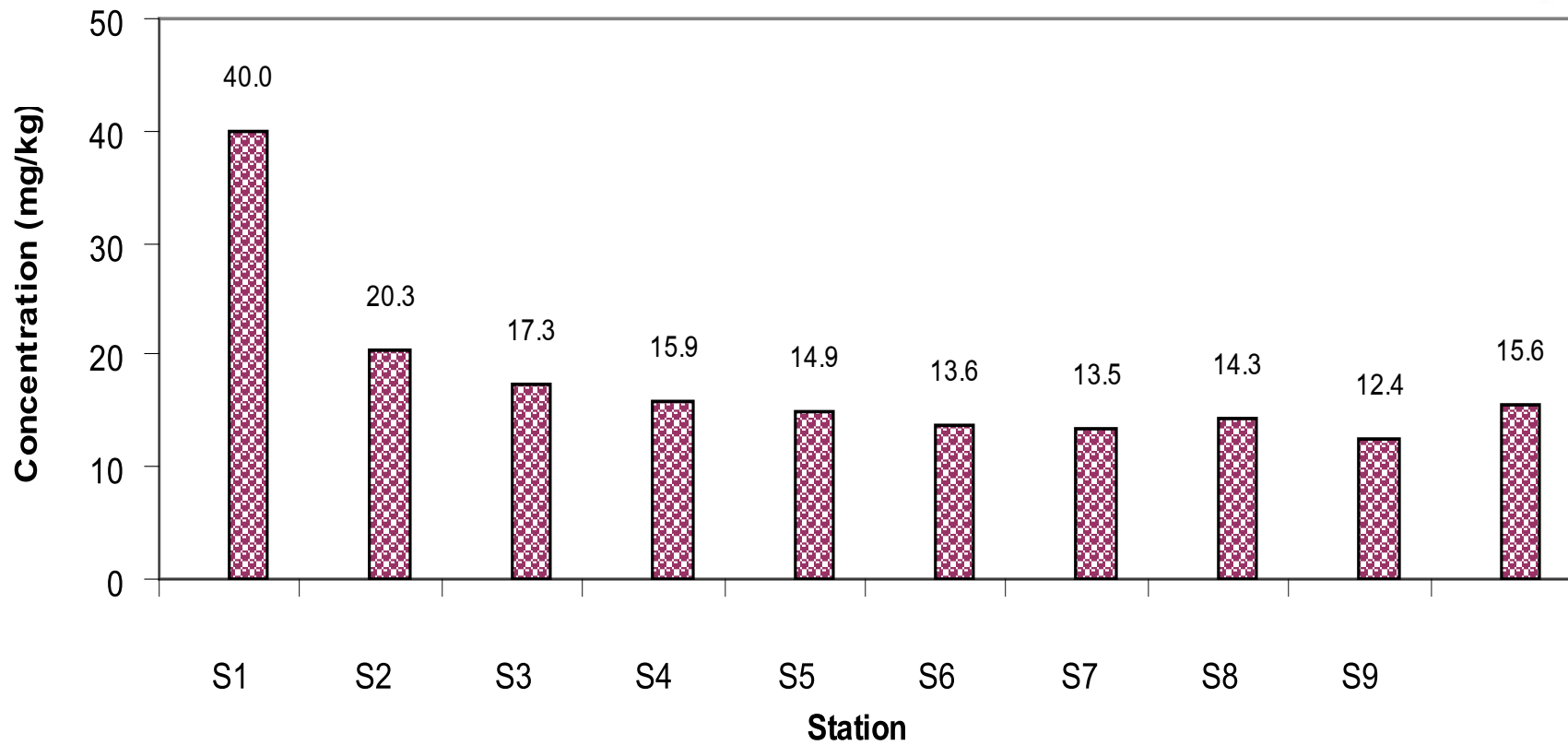


Figure 53 Concentration of Cu in water from the Mekong river (mg/kg) at various stations

A. Songsasen

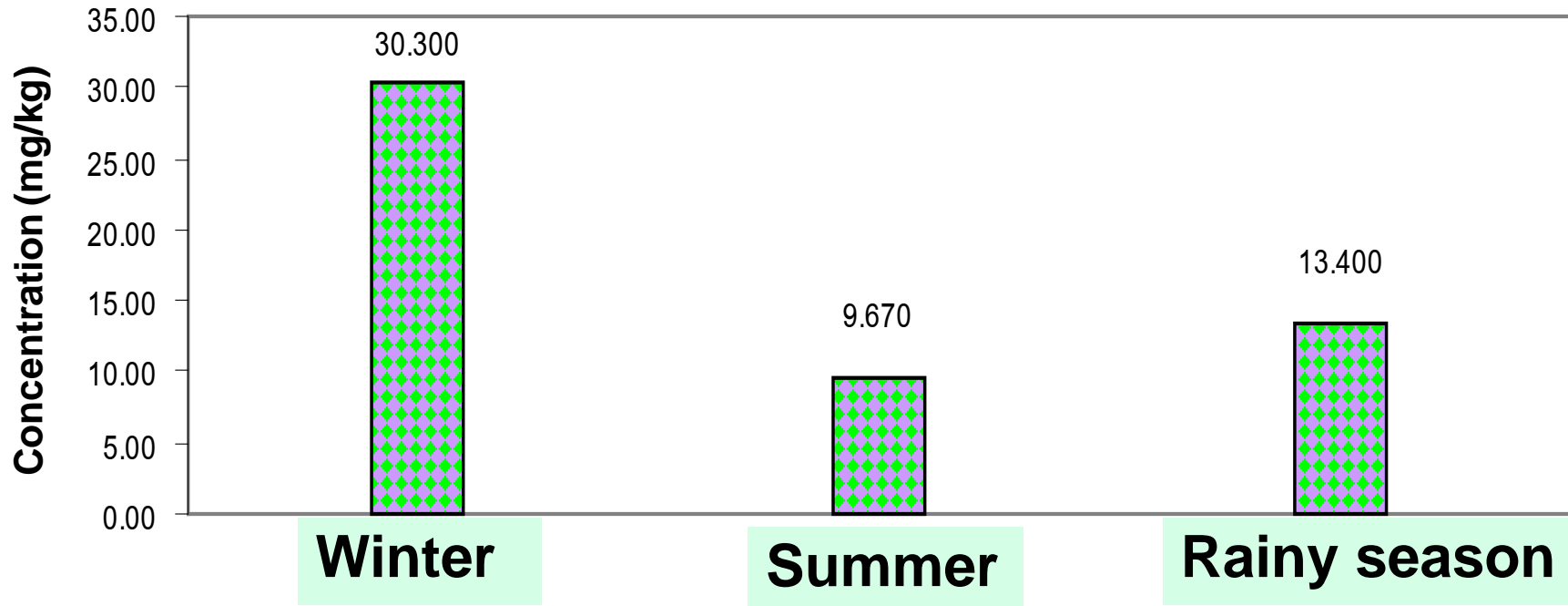


Figure 54 Seasonal variation of Cu in water from the Mekong River

A. Songsasen



Heavy metals in water

1. Concentration of Cd, Cr and Pb in water were very low in all samples
2. Concentration of Cu and Zn in winter were higher than other seasons
3. Concentration of Hg and Zn were high in the residential area (S3, S8 and S10) comparing to other areas
4. Concentration of Cu was very high in S1



5. Concentration of Hg, Zn and Cu still lower than the limit for the surface water of the department of pollution control (Thailand) (Hg > 2ppb, Zn > 1000 ppb, Cu > 100 ppb)

A. Songsasen



Heavy metals in sediment

- 1. Pb, Cd, Cr, Zn and Cu were high in rainy season, but Hg was high in winter**
- 2. Concentration of Cd, Pb and Hg seemed to have high variation with the change in season**
- 3. As in water, the concentration of heavy metals were high in the residential area.**



Acknowledgement

- British council
- Kasetsart University Research and Development Institute
- Center for Innovation in Chemistry : Postgraduate Education and Research Program in Chemistry
- Mr. S. Bangkedphol
- Mr. A. Sakultantimetha
- Mr. P. Jivapornkupta
- Mr. N. Veerachalee
- Mr. S. Tae
- Mr. J. Wattoom

A. Songsasen



ปริมาณโลหะหนักในน้ำ

ปริมาณแคลเดเมียม ตะกั่ว และโกรเมียม อยู่ในระดับที่ต่ำมากในทุกสถานีที่สำรวจและทุกๆ สถานี

ปริมาณของสังกะสี และทองแดง จะมีค่าค่อนข้างสูงในช่วงฤดูหนาว (ธันวาคม 2544)

สถานีบริเวณแหล่งชุมนุมชน เช่น S₃ ทำการอ้างอิงค่าน S₈ (ท่าน้ำอ้างอิงมาตรฐาน) และ S₁₀ (สถานีสำรวจ จ.เชียงใหม่) จะมีปริมาณprotothugan กว่าบริเวณอื่นๆ ยกเว้นบริเวณสามเหลี่ยมทองคำก็จะมีปริมาณprotothugan มาก เช่นกัน แต่อย่างไรก็ตามค่าสูงสุดนั้นยังต่ำกว่าค่ามาตรฐานคุณภาพน้ำในแหล่งน้ำผิวดินของ

กรมควบคุมมลพิษ (ไม่เกิน 2 ppb)

ปริมาณสังกะสีนั้นค่อนข้างสูงในบริเวณแหล่งชุมนุมชน เช่นเดียวกับ protothugan แต่ค่าสูงสุดนั้นก็ยังต่ำกว่าค่ามาตรฐานคุณภาพน้ำในแหล่งน้ำผิวดินของกรมควบคุมมลพิษ เช่นกัน (ไม่เกิน 1000 ppb)

ปริมาณทองแดงจะสูงมากบริเวณสามเหลี่ยมทองคำ นอกนั้นจะมีค่าใกล้เคียงกันตลอดทั้งลำน้ำ อย่างไรก็ตาม ค่าสูงสุดนั้นก็ยังต่ำกว่าค่ามาตรฐานคุณภาพน้ำในแหล่งน้ำผิวดินของกรมควบคุมมลพิษ เช่นกัน (ไม่เกิน 100 ppb)



(ธันวาคม 2544)

ที่สถานีสามเหลี่ยมทองคำ จะพบว่ามีปริมาณแคลคเมียม ตะกั่ว และสังกะสีสูงมาก เมื่อเทียบกับสถานีอื่น ๆ

ปริมาณแคลคเมียม ตะกั่ว และprotox ก่อนข้างจะมีความแปรปรวนตามถุกกาลก่อนข้างมาก ในการสำรวจในแต่ละสถานี โดยที่ปริมาณสังกะสีจะมีความแปรปรวนต่ำที่สุด โดยภาพรวม โลหะหนักจะพบมากในดินตะกอนในบริเวณที่เป็นแหล่งชุมชนเช่นโดยเฉลี่ย

ปริมาณโลหะหนักในดินตะกอนในช่วงฤดูหนาว (ธันวาคม 2544) พบร่วมกับ

โครงเมียม	ปนเปื้อนมากที่สุดเท่ากัน	212.8	mg/kg	บริเวณ	วัดโขงเจียมปูร่าวาศ
สังกะสี	ปนเปื้อนมากที่สุดเท่ากัน	164.4	mg/kg	บริเวณ	สามเหลี่ยมทองคำ
แคลคเมียม	ปนเปื้อนมากที่สุดเท่ากัน	31.1	mg/kg	บริเวณ	อำเภอโขงเจียม
ตะกั่ว	ปนเปื้อนมากที่สุดเท่ากัน	48.2	mg/kg	บริเวณ	อำเภอเวียงแก่น
protox	ปนเปื้อนมากที่สุดเท่ากัน	421.8	mg/kg	บริเวณ	อำเภอโพนพิสัย
ทองแดง	ปนเปื้อนมากที่สุดเท่ากัน	164.4	mg/kg	บริเวณ	อำเภอโขงเจียม

ปริมาณโลหะหนักในดินตะกอนในช่วงฤดูร้อน (พฤษภาคม) พบร่วมกับ

โครงเมียม	ปนเปื้อนมากที่สุดเท่ากัน	189.5	mg/kg	บริเวณ	วัดโขงเจียมปูร่าวาศ
สังกะสี	ปนเปื้อนมากที่สุดเท่ากัน	116.1	mg/kg	บริเวณ	อำเภอโขงเจียม
แคลคเมียม	ปนเปื้อนมากที่สุดเท่ากัน	38.7	mg/kg	บริเวณ	อำเภอเชียงคาน
ตะกั่ว	ปนเปื้อนมากที่สุดเท่ากัน	65.2	mg/kg	บริเวณ	อำเภอโขงเจียม
protox	ปนเปื้อนมากที่สุดเท่ากัน	173.2	mg/kg	บริเวณ	อำเภอเชียงคาน
ทองแดง	ปนเปื้อนมากที่สุดเท่ากัน	29.6	mg/kg	บริเวณ	อำเภอโขงเจียม

ปริมาณโลหะหนักในดินตะกอนในช่วงฤดูฝน (สิงหาคม) พบร่วมกับ

โครงเมียม	ปนเปื้อนมากที่สุดเท่ากัน	122.4	mg/kg	บริเวณ	อำเภอโพนพิสัย
สังกะสี	ปนเปื้อนมากที่สุดเท่ากัน	117.1	mg/kg	บริเวณ	อำเภอโพนพิสัย
แคลคเมียม	ปนเปื้อนมากที่สุดเท่ากัน	45.5	mg/kg	บริเวณ	วัดอาสา อําเภอบึงกาฬ
ตะกั่ว	ปนเปื้อนมากที่สุดเท่ากัน	67.5	mg/kg	บริเวณ	วัดโขงเจียมปูร่าวาศ
protox	ปนเปื้อนมากที่สุดเท่ากัน	87.4	mg/kg	บริเวณ	วัดอาสา อําเภอบึงกาฬ
ทองแดง	ปนเปื้อนมากที่สุดเท่ากัน	28.6	mg/kg	บริเวณ	อำเภอเมือง จ.หนองคาย



Kasetsart University

University of
Strathclyde

A. Songsasen

 **Eco Summit**
2007



Kasetsart University

University of
Strathclyde

A. Songsasen

 Eco Summit
2007

The logo for the Eco Summit 2007 features the text "Eco Summit" in a large, light green font, with "2007" in a larger, bold green font below it. To the left of the text is a stylized green tree icon. Below the main text are four small, horizontal landscape images showing various natural scenes.